

# СИБИРСКИЕ ЭЛЕКТРОННЫЕ МАТЕМАТИЧЕСКИЕ ИЗВЕСТИЯ

Siberian Electronic Mathematical Reports

<http://semr.math.nsc.ru>

Том 16, стр. 2055–2079 (2019)

УДК 517.929

DOI 10.33048/semi.2019.16.146

MSC 34K06, 34K20

## УСТОЙЧИВОСТЬ ТРЕХПАРАМЕТРИЧЕСКИХ СИСТЕМ ДВУХ ЛИНЕЙНЫХ ДИФФЕРЕНЦИАЛЬНЫХ УРАВНЕНИЙ С ЗАПАЗДЫВАНИЕМ. ЧАСТЬ II

М.В. МУЛЮКОВ

**ABSTRACT.** The system of two linear autonomous differential equations with a limited delay and a term without delay is considered. Complete classification of all three-parameter systems is obtained. For every such system the stability criterion in analytic and geometric form is obtained.

**Keywords:** system of differential equations with delay, autonomous equations, asymptotic stability, stability domain, D-subdivision method.

### 1. ОБЪЕКТ ИССЛЕДОВАНИЯ

Настоящая статья является второй частью работы, посвященной исследованию трехпараметрических систем вида

$$(1) \quad \begin{cases} \dot{x}(t) + Ax(t) + Bx(t-h) = f(t), & t \in \mathbb{R}_+, \\ x(t) = \psi(t), & t \in [-h, 0), \end{cases}$$

в следующих обозначениях и предположениях:  $A, B$  — вещественные  $2 \times 2$ -матрицы,  $\mathbb{R}_+ = [0; +\infty)$ ,  $h > 0$ , начальная вектор-функция  $\psi$  суммируема на  $[-h, 0]$ , вектор-функция  $f$  локально суммируема.

Напомним, что система (1) называется трехпараметрической, если среди коэффициентов ее характеристического уравнения

$$\chi \operatorname{ch} z + \beta + \zeta \operatorname{sh} z + \mu z e^z + \nu z + z^2 e^z = 0$$

ровно три отличны от нуля и принимают произвольные вещественные значения.

MULYUKOV, M. V., STABILITY OF THREE-PARAMETER SYSTEMS OF TWO LINEAR DIFFERENTIAL EQUATIONS WITH DELAY. PART II.

© 2019 Мүлюков М.В.

Работа выполнена в рамках базовой части госзадания Минобрнауки РФ (проект 1.5336.2017/8.9) при поддержке РФФИ (проект 18-01-00928).

Поступила 12 июля 2019 г., опубликована 26 декабря 2019 г.

Приведем характеристические уравнения всех трехпараметрических систем:

$$(31) \quad \zeta \operatorname{sh} z + \mu z e^z + \nu z + z^2 e^z = 0,$$

$$(32) \quad \chi \operatorname{ch} z + \beta + \mu z e^z + z^2 e^z = 0,$$

$$(33) \quad \chi \operatorname{ch} z + \beta + \nu z + z^2 e^z = 0,$$

$$(34) \quad \beta + \zeta \operatorname{sh} z + \nu z + z^2 e^z = 0,$$

$$(35) \quad \chi \operatorname{ch} z + \beta + \zeta \operatorname{sh} z + z^2 e^z = 0,$$

$$(36) \quad \chi \operatorname{ch} z + \zeta \operatorname{sh} z + \nu z + z^2 e^z = 0,$$

$$(37) \quad \beta + \mu z e^z + \nu z + z^2 e^z = 0,$$

$$(38) \quad \chi \operatorname{ch} z + \zeta \operatorname{sh} z + \mu z e^z + z^2 e^z = 0,$$

$$(39) \quad \beta + \zeta \operatorname{sh} z + \mu z e^z + z^2 e^z = 0,$$

$$(40) \quad \chi \operatorname{ch} z + \mu z e^z + \nu z + z^2 e^z = 0.$$

Уравнения (31)–(38) рассмотрены в [4]. Прежде, чем перейти к исследованию оставшихся двух уравнений, приведем некоторые сведения о двухпараметрических характеристических уравнениях вида

$$(11) \quad f_0(z) + p_1 f_1(z) + p_2 f_2(z) = 0,$$

где  $\mathbf{p} = \{p_1, p_2\} \in \mathbb{R}^2$ .

## 2. НАБОРЫ D-РАЗБИЕНИЯ

Доказательства приведенных в данном параграфе утверждений можно найти в работе [5] (за исключением леммы 1, доказательство которой приведено ниже).

Напомним, что любая точка D-разбиения принадлежит единственной линии D-разбиения, которые делятся на два класса: прямые и кривые D-разбиения. В свою очередь, двухпараметрические характеристические уравнения делятся на четыре рода, отличающиеся свойствами областей и линий D-разбиения. Подробное описание каждого типа можно найти в [4].

В общем случае область устойчивости двухпараметрического характеристического уравнения может быть неограниченной и состоять из любого числа компонентов связности (в том числе, и бесконечного). Кроме того, взаимное расположение кривых D-разбиения может быть сложным, а при движении вдоль выделенного направления в пространстве параметров абсолютный индекс областей может как увеличиваться, так и уменьшаться.

Далее будем полагать, что  $\mathbf{u}(\varphi) \neq 0$ , то есть характеристическое уравнение четвертого рода исключено из рассмотрения.

**Определение 1.** Будем называть набором D-разбиения произвольное множество линий D-разбиения, каждой из которых поставлено в соответствие натуральное число, называемое *весом этой линии в наборе*.

Будем говорить, что наборы  $\omega_1$  и  $\omega_2$  равны, если они содержат одни и те же линии D-разбиения и вес каждой линии в  $\omega_1$  равен весу этой линии в  $\omega_2$ .

Для краткости вместо термина *набор D-разбиения* будем использовать термин *набор*. Кроме того, удобно оперировать не самими линиями D-разбиения, а их проекциями, поэтому слова «кривая  $C_n$  (прямая  $L_n$ ) принадлежит набору  $\omega$  и имеет вес  $v$  в этом наборе» следует понимать следующим образом: «кривая D-разбиения (прямая D-разбиения), проекция которой — это кривая  $C_n$  (прямая  $L_n$ ), принадлежит набору  $\omega$  и имеет вес  $v$  в этом наборе».

**Определение 2.**

- *Точкой набора* назовем точку D-разбиения, принадлежащую какой-либо линии данного набора.
- *Областью набора* назовем линейно связное открытое множество  $V \in \mathbb{R}^2$  такое, что:
  - $V$  не содержит проекции ни одной точки D-разбиения данного набора,
  - любое линейно связное открытое множество, собственным подмножеством которого является  $V$ , содержит проекцию хотя бы одной точки D-разбиения данного набора.
- Назовем набор *регулярным*, если он не содержит нерегулярные прямые D-разбиения.
- Точку в  $\mathbb{R}^2$  будем называть *особой точкой набора*, если она является проекцией хотя бы одной нерегулярной точки набора; в противном случае точку  $\mathbb{R}^2$  будем называть *неособой точкой набора*.
- Назовем ломаную  $Q \subset \mathbb{R}^2$  *регулярной ломаной относительно набора*, если она не проходит через особую точку набора, и ни одно звено ломаной не принадлежит ни проекции прямой D-разбиения данного набора, ни главной прямой.

Пусть  $Q$  — регулярная ломаная относительно набора  $\omega$ . Параметризуем эту ломаную взаимно-однозначной непрерывной функцией  $\mathbf{k}: [0, 1] \rightarrow Q$ .

Обозначим через  $\{\mathbf{k}(t_n), \varphi_n\}$  ( $n = \overline{1, M}$ ,  $t_n \in [0, 1]$ ) множество точек D-разбиения набора, проекции которых принадлежат  $Q$ . Если  $\operatorname{Re} Z_{\varphi_n}(\mathbf{k}(t_n \pm 0)) = 0$ , то  $Q$  содержит отрезок, принадлежащий проекции прямой D-разбиения или главной прямой, следовательно,  $\operatorname{Re} Z_{\varphi_n}(\mathbf{k}(t_n \pm 0)) \neq 0$ .

**Определение 3.** Пусть  $\omega$  — регулярный набор, а  $Q$  — ломаная, регулярная относительно набора  $\omega$ . Будем называть *индексом ломаной  $Q$  относительно набора  $\omega$*  число

$$\rho_{\omega}(Q) = \sum_{n=1}^M v_n s_n,$$

где  $v_n$  — вес в наборе  $\omega$  той линии набора, которой принадлежит точка набора  $(\mathbf{k}(t_n), \varphi_n)$ , а  $s_n$  вычислено по следующему правилу:

- если  $t_n \in (0, 1)$  и  $\operatorname{Re} Z_{\varphi_n}(\mathbf{k}(t_n - 0)) < 0$  и  $\operatorname{Re} Z_{\varphi_n}(\mathbf{k}(t_n + 0)) > 0$ , то  $s_n = +1$ ;
- если  $t_n \in (0, 1)$  и  $\operatorname{Re} Z_{\varphi_n}(\mathbf{k}(t_n - 0)) > 0$  и  $\operatorname{Re} Z_{\varphi_n}(\mathbf{k}(t_n + 0)) < 0$ , то  $s_n = -1$ ;
- если  $t_n \in (0, 1)$  и  $\operatorname{Re} Z_{\varphi_n}(\mathbf{k}(t_n - 0)) \operatorname{Re} Z_{\varphi_n}(\mathbf{k}(t_n + 0)) > 0$ , то  $s_n = 0$ ;
- если  $t_n = 0$  и  $\operatorname{Re} Z_{\varphi_n}(\mathbf{k}(t_n + 0)) > 0$ , то  $s_n = 0$ ;
- если  $t_n = 0$  и  $\operatorname{Re} Z_{\varphi_n}(\mathbf{k}(t_n + 0)) < 0$ , то  $s_n = -1$ ;
- если  $t_n = 1$  и  $\operatorname{Re} Z_{\varphi_n}(\mathbf{k}(t_n - 0)) < 0$ , то  $s_n = +1$ ;
- если  $t_n = 1$  и  $\operatorname{Re} Z_{\varphi_n}(\mathbf{k}(t_n - 0)) > 0$ , то  $s_n = 0$ .

**Определение 4.** Будем называть регулярный набор *индексиремым*, если относительно этого набора индекс любой простой регулярной замкнутой ломаной равен нулю.

**Определение 5.** Пусть  $\mathbf{a}$  — неособая точка индексируемого набора  $\omega$ ; присвоим ей некоторое целое число  $\rho_\omega(\mathbf{a})$ . Тогда любой другой неособой точке  $\mathbf{b}$  присвоим число  $\rho_\omega(\mathbf{b})$  по формуле  $\rho_\omega(\mathbf{b}) = \rho_\omega(\mathbf{a}) + \rho_\omega(Q)$ , где  $Q$  — некоторая регулярная относительно набора ломаная с началом в  $\mathbf{a}$  и концом в  $\mathbf{b}$ . Числа  $\rho_\omega(\mathbf{a})$  и  $\rho_\omega(\mathbf{b})$  будем называть *индексом точек  $\mathbf{a}$  и  $\mathbf{b}$  относительно  $\omega$* .

Таким образом, в индексируемом наборе существует бесконечно много способов присвоить относительные индексы областям, однако для всех точек набора разность индексов в двух различных индексациях одинакова.

**Определение 6.** Объединением наборов  $\omega_1$  и  $\omega_2$  назовем набор  $\omega_0$ , состоящий из линий, входящих хотя бы в один из наборов. Вес линии в наборе  $\omega_0$  равен сумме ее весов в наборах  $\omega_1$  и  $\omega_2$ .

**Определение 7.** Будем называть набор *полным*, если выполняются следующие пункты:

- набор содержит все линии D-разбиения;
- прямая, соответствующая нулевой частоте, имеет вес в данном наборе, равный одному;
- вес любой линии набора, кроме прямой, соответствующей нулевой частоте, равен двум.

Отметим, что в полном наборе прямая, соответствующая нулевой частоте, может и не существовать (что эквивалентно условию  $f_1(0) = f_2(0) = 0$ ). Кроме того, полный набор всегда существует и единственен.

Напомним, что через  $\rho(\mathbf{r})$  обозначен абсолютный индекс точки  $\mathbf{r}$ , то есть количество корней характеристического уравнения  $F(\cdot; \mathbf{r}) = 0$  с неотрицательной вещественной частью.

**Теорема 1.** Пусть полный набор  $\omega$  может быть представлен в виде объединения не более чем счетного множества индексируемых наборов  $\{\omega_n\}$  и существуют неособая точка  $\mathbf{a}$  набора  $\omega$  и номер  $t$  такие, что для любого  $n > t$  имеем  $\rho_{\omega_n}(\mathbf{a}) = 0$ . Тогда полный набор индексируем и существует целое число  $N$  такое, что для любой неособой точки  $\mathbf{b}$  имеем:

$$1) \rho_\omega(\mathbf{b}) = \sum_{n=1}^{\infty} \rho_{\omega_n}(\mathbf{b});$$

$$2) \rho(\mathbf{b}) = N + \rho_\omega(\mathbf{b}).$$

**Определение 8.** Индексируемый набор  $\omega$  назовем *элементарным*, если он не может быть представлен в виде объединения двух различных непустых индексируемых наборов.

Перечислим основные типы элементарных наборов.

**Определение 9.** Набор, состоящий из нестационарной прямой без центральной точки, будем называть *I-набором*.

**Определение 10.** Набор, состоящий из кривой без концевых точек с весом 2, будем называть *S-набором*.

**Определение 11.** Будем называть *T-набором* набор, состоящий из кривой  $C_n$  с весом 2 и нестационарной прямой  $L_m$  с весом 1 таких, что кривая имеет ровно одну концевую точку, совпадающую с центральной точкой прямой (то есть либо  $\theta_m = \xi_n$ , либо  $\theta_m = \xi_{n+1}$ ).

**Определение 12.** Набор, состоящий из кривой  $C_n$  с весом 2 и прямых  $L_m, L_{m+1}$  с весом 1 таких, что обе концевые точки кривой существуют и совпадают с центральными точками прямых, будем называть *H-набором*.

**Теорема 2.** *I-набор, T-набор, S-набор и H-набор элементарны.*

**Теорема 3.** Пусть  $\Delta(\varphi) \neq 0$  и у функций  $\Delta, \Delta', u_1, u'_1, u_2, u'_2$  нет общего корня. Тогда полный набор может быть представлен как объединение не более чем счетного множества *S-, T- и H-наборов*.

**Лемма 1.** Рассмотрим *S-набор*, состоящий из кривой  $C_n$  такой, что выполняются следующие условия:

- функция  $S_2$  имеет единственный экстремум на интервале  $(\xi_n, \xi_{n+1})$ ;
- $\lim_{\varphi \rightarrow \xi_n+0} S_1^{-1}(\varphi) = \lim_{\varphi \rightarrow \xi_{n+1}-0} S_1^{-1}(\varphi) = 0$ ;
- $\lim_{\varphi \rightarrow \xi_n+0} S_1(\varphi) \lim_{\varphi \rightarrow \xi_{n+1}-0} S_1(\varphi) < 0$ .

Тогда из данной кривой можно сформировать *S-набор* такой, что выполняются следующие условия:

- a) существует ровно две неограниченные области набора,
- b) множество ограниченных областей набора конечно,
- c) существует способ индексации набора, при котором относительный индекс любой области равен  $-2, 0$  или  $2$ .

*Доказательство.* Если кривая  $C_n$  простая, то, очевидно, существуют ровно две области набора. Эти области неограниченны. Если присвоить одной из них нулевой относительный индекс, то относительный индекс другой области равен  $2$  или  $-2$ .

Пусть  $C_n$  имеет точки самопересечения. Докажем, что в этом случае существует конечное число областей набора, которым можно присвоить в качестве относительного индекса число из следующего набора:  $-2, 0, 2$ .

Обозначим через  $\varphi^*$  точку экстремума функции  $S_2$  на интервале  $(\xi_n, \xi_{n+1})$ . Без потери общности будем полагать, что это точка максимума. Обозначим  $a = S_2(\varphi^*)$ . Существуют  $\varphi_1 < \varphi_2$  из интервала  $(\xi_n, \xi_{n+1})$  такие, что  $\mathbf{S}(\varphi_1) = \mathbf{S}(\varphi_2)$ ,  $S_1(\varphi) < S_1(\varphi_1)$  при  $\varphi < \varphi_1$  и  $S_1(\varphi) > S_1(\varphi_2)$  при  $\varphi > \varphi_2$ . Иными словами, выше точки  $\mathbf{S}(\varphi_1)$  нет точек самопересечения кривой  $C_n$ . Обозначим  $b = S_2(\varphi_1)$ .

Функция  $S_2$  осуществляет взаимно однозначное отображение интервалов  $(\varphi_1, \varphi^*)$ ,  $(\varphi^*, \varphi_2)$  на интервал  $(a, b)$ . Поэтому можно обратить функцию на каждом из этих интервалов:  $S_2^{-1}$  отображает  $(a, b)$  на  $(\varphi_1, \varphi^*)$ , а  $\hat{S}_2^{-1}$  отображает  $(a, b)$  на  $(\varphi^*, \varphi_2)$ . Коль скоро функция  $S_2$  аналитична за исключением точки  $\varphi^*$ , то и функции  $S_2^{-1}, \hat{S}_2^{-1}$  аналитичны на  $(a, b)$ . Тогда  $S_1(S_2^{-1})$  и  $S_1(\hat{S}_2^{-1})$  являются аналитическими на  $(a, b)$  функциями.

Точки самопересечения кривой  $C_n$  определяются из решения уравнения  $S_1(S_2^{-1}(r_2)) = S_1(\hat{S}_2^{-1}(r_2))$ . На конечном отрезке  $[a, b]$  множество корней этого уравнения конечно. Обозначим их через  $\{d_n\}$  ( $n = \overline{1, m}$ ) так, что  $a = d_0 < d_1 < \dots < d_m = b$ .

Следовательно, при каждом  $n = \overline{1, m}$  в полосе  $r_2 \in [d_{n-1}, d_n]$  существует единственная ограниченная область набора (петля кривой  $C_n$ ). Обозначим эту область через  $D_n$ . Таких областей конечное число. Кроме них существуют две неограниченные области: область  $D_0$ , граница которой совпадает с кривой  $C_n$ , и область  $D_{m+1}$ , граница которой состоит из двух участков этой кривой:  $C_n^{(\xi_n, \varphi_1)} \cup C_n^{(\varphi_2, \xi_{n+1})}$ .

Пусть относительный индекс области  $D_0$  равен нулю. Любая другая область набора имеет с  $D_0$  общую границу — участок кривой  $C_n$  без самопересечений, потому что относительный индекс этих областей равен либо  $2$ , либо  $-2$ .  $\square$

На рис. 1 изображена кривая, удовлетворяющая требованиям данной леммы, где  $m = 3$ . Области  $D_0$  и  $D_4$  неограниченны, области  $D_1, D_2$  и  $D_3$  ограничены. Стрелочками обозначено направления положительного обхода кривой. Если данная кривая — положительна, то относительный индекс области  $D_0$  равен нулю, областей  $D_1$  и  $D_3$  равен двум, а областей  $D_2$  и  $D_4$  — минус двум.

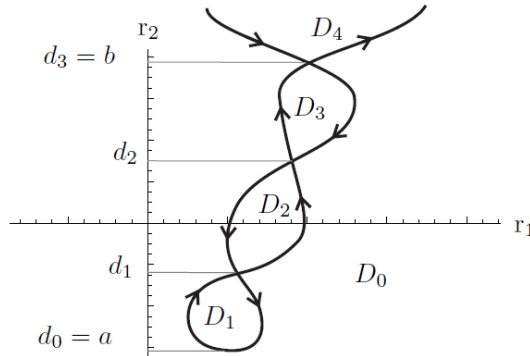


Рис. 1. Относительные индексы S-набора

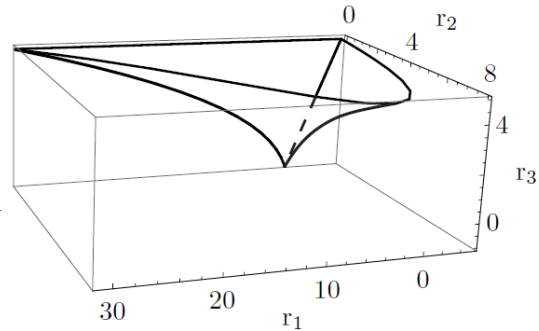


Рис. 2. Область  $\mathcal{D}_9$  (выше)

### 3. УСТОЙЧИВОСТЬ ТРЕХПАРАМЕТРИЧЕСКИХ СИСТЕМ

**3.1. Уравнение (39):**  $\beta + \zeta \operatorname{sh} z + \mu z e^z + z^2 e^z = 0$ . Рассмотрим в пространстве  $\mathbb{R}^3$  область  $\mathcal{D}_9$ , состоящую из точек  $\mathbf{r}$ , удовлетворяющих условиям:  $r_3 > -1$ ,  $r_1 \in (-r_3, \psi^2 - r_3 \psi \operatorname{ctg} \psi)$ , где  $\psi$  — единственный корень уравнения  $r_3 = -\varphi \operatorname{ctg} \varphi$  из интервала  $(0, \pi)$ , и  $r_2 \in (0, \eta^2 \cos \eta + r_3 \eta \sin \eta)$ , где  $\eta$  — единственный корень уравнения  $r_1 = \varphi^2 - \varphi \operatorname{ctg} \varphi$  из интервала  $(0, \psi)$ . Эта область изображена на рис. 2.

**Теорема 4.** Для того чтобы все корни уравнения (39) имели отрицательные вещественные части, необходимо и достаточно, чтобы точка  $\{\beta, \zeta, \mu\}$  принадлежала области  $\mathcal{D}_9$ .

**Лемма 2.** Функция

$$f(\varphi) = \frac{\varphi^2 \varphi + \sin \varphi \cos \varphi}{\varphi - \sin \varphi \cos \varphi}$$

отображает отрезок  $[\pi k, \pi(k+1)]$  в  $[\pi^2 k^2, \pi^2(k+1)^2]$  при любом  $k \in \mathbb{N}_0$ .

*Доказательство.* Проведем замену  $\psi = 2\varphi$  и будем рассматривать функцию

$$g(\psi) = 4f(\varphi) = \frac{\psi(\psi + \sin \psi)}{\psi - \sin \psi}.$$

Итак, требуется показать, что  $g$  отображает отрезок  $[2\pi k, 2\pi(k+1)]$  на  $[4\pi^2 k, 4\pi^2(k+1)^2]$  при любом  $k \in \mathbb{N}_0$ . Имеем

$$g'(\psi)(\psi - \sin \psi)^2 = \psi(\psi^2(1 + \cos \psi) - \sin \psi(\psi + \sin \psi)),$$

поэтому на интервале  $(\pi(2k+1), 2\pi(k+1))$  функция  $g$  монотонна, следовательно,  $g$  взаимно-однозначно отображает данный интервал в себя.

Докажем, что при  $\psi \in [2\pi k, \pi(2k+1)]$  имеем  $4\pi^2 k^2 \leq g(\psi) \leq 4\pi^2(k+1)^2$ . Данные неравенства эквивалентны следующим:

$$(60) \quad (\psi^2 - 4\pi^2 k^2)\psi \geq -\sin \psi(\psi^2 + 4\pi^2 k^2),$$

$$(61) \quad \frac{2 \sin \psi}{\psi - \sin \psi} \leq \frac{4\pi^2(n+1)^2}{\psi^2} - 1.$$

Неравенство (60) выполняется в силу  $\sin \psi > 0$ .

Усилим неравенство (61):  $2/(2\pi k - 1) < (4k + 3)/(2k + 1)^2$  и перепишем его в виде  $8k^2(\pi - 1) + 6(\pi - 2)k - 5 > 0$ , которое выполняется при любом натуральном  $k$  в силу того, что модули корней данного квадратного трехчлена меньше единицы.

Итак, остается показать, что  $g(\psi) \leq 4\pi^2$ , если  $\psi \in (0, \pi]$ . Усилим доказываемое неравенство:  $2\psi^3/(\psi - \sin \psi) < 4\pi^2$ , и перепишем в виде:  $\psi^2/(2\pi^2) < 1 - \sin \psi/\psi$ . Вновь усилим полученное неравенство:  $\psi^2/(2\pi^2) < 1 - \cos(\psi/2)$ , и запишем в виде:  $\psi^2/(2\pi)^2 < \sin^2(\psi/4)$ . Таким образом, приходим к неравенству  $\psi < 2\pi \sin(\psi/4)$ , которое очевидно выполняется при  $\psi \in (0, \pi]$ .  $\square$

*Доказательство теоремы 4.* Уравнение (39) будем рассматривать как семейство двухпараметрических уравнений (11) первого рода, где  $p_1 = \zeta$ ,  $p_2 = \beta$ , а  $\mu$  — параметр семейства.

Случай  $\mu = 0$  был рассмотрен в работы [5], поэтому далее будем полагать  $\mu \neq 0$ .

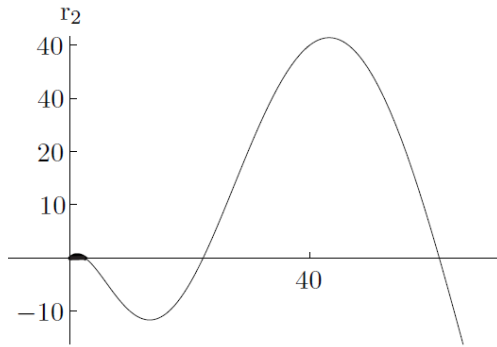


Рис. 3. Области D-разбиения при  $\mu = 0$

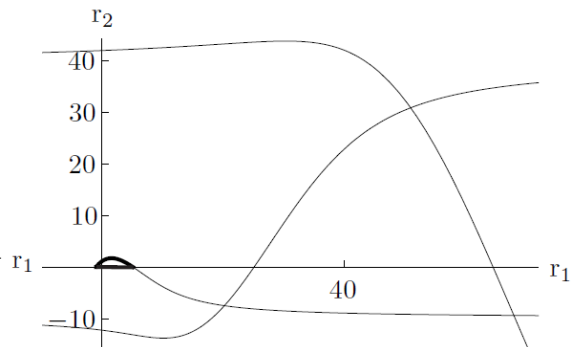


Рис. 4. Области D-разбиения при  $\mu = 1$

Имеем  $\Delta(\varphi) = -\sin \varphi$ ,

$$\mathbf{u}(\varphi) = \{-\varphi^2 \sin \varphi + \mu\varphi \cos \varphi, -\varphi \sin \varphi(\varphi \cos \varphi + \mu \sin \varphi)\},$$

следовательно,  $\theta_0 = 0$ ,  $\xi_n = \pi n$ , где  $n \in \mathbb{N}_0$ , то есть имеется единственная прямая  $L_0$  и счетное множество кривых  $C_n$ , которые задаются отображением

$$\mathbf{S}(\varphi) = \{\varphi^2 - \mu\varphi \operatorname{ctg} \varphi, \varphi^2 \cos \varphi + \mu\varphi \sin \varphi\}.$$

Прямая  $L_0$  нестационарна, а ее центральная точка совпадает с концевой точкой кривой  $C_0$  и имеет координаты  $\mathbf{u}'(0)/\Delta'(0) = \{-\mu, 0\}$ .

Обозначим через  $a_n$  единственный корень уравнения  $\mu = -\varphi \operatorname{ctg} \varphi$  из интервала  $(\pi n, \pi(n + 1))$ , а через  $b_n$  — единственный корень уравнения  $\mu = \varphi \operatorname{tg} \varphi$  из того же интервала. Заметим, что при  $n \geq 1$  корни  $a_n$  и  $b_n$  существует при любых  $\mu$ . Корень  $a_0$  существует в том и только том случае, если  $\mu > -1$ , а корень  $b_0$  — в том и только том случае, если  $\mu > 0$ .

Очевидно,  $\mathbf{S}(a_n)$  и  $\mathbf{S}(b_n)$  — единственные точки пересечения кривой  $C_n$  с координатными осями  $r_1$  и  $r_2$  соответственно. Заметим, что если  $n > m$ , то  $S_1(a_n) > S_1(a_m) > 0$  и  $|S_2(b_n)| > |S_2(b_m)|$ .

Рассмотрим функцию  $S_2$ . Уравнение  $S'_2(\varphi) = 0$  можно переписать в виде

$$\mu = \frac{\varphi^2 \sin \varphi - 2\varphi \cos \varphi}{\sin \varphi + \varphi \cos \varphi},$$

где функция, стоящая справа, монотонно возрастает в точках своей непрерывности. При  $n \geq 1$  в точках  $\varphi = \pi n$  данная функция принимает значение, равное  $-2$ , а в точке  $\varphi = 0$  — значение  $-1$ . Следовательно, при  $\mu \neq -2$  уравнение  $S'_2(\varphi) = 0$  имеет единственное решение  $c_n$  на интервале  $(\pi n, \pi(n+1))$  при  $n \geq 1$ . На интервале  $(0, \pi)$  уравнение  $S'_2(\varphi) = 0$  имеет единственное решение  $c_0$  если и только если  $\mu > -1$ . Если  $\mu = -2$ , то уравнение  $S'_2(\varphi) = 0$  не имеет решений на интервале  $(\pi n, \pi(n+1))$  при  $n \geq 1$ . При  $\mu \leq -1$  уравнение  $S'_2(\varphi) = 0$  не имеет решений на интервале  $(0, \pi)$ .

Далее,

$$S_1(c_n) = \frac{(\mu + 2)(\cos^2 c_n + 1)}{c_n^2 + 2} \left( \frac{c_n}{\sin c_n} \right)^2,$$

$$S_2(c_n) = \frac{c_n^2(c_n - \sin c_n \cos c_n)(\mu + 2)}{\sin c_n(c_n^2 + 2)}.$$

Все корни функции  $\Delta$  просты, поэтому полный набор является объединением одного T-набора  $\omega_0$ , состоящего из  $L_0$  и  $C_0$ , и счетного множества S-наборов  $\omega_n$ , состоящих из единственной кривой  $C_n$  ( $n \geq 1$ ).

*Рассмотрим случай  $\mu > 0$ .*

Имеем  $S'_1(\varphi) > 0$  при  $\varphi \neq \xi_n$ , то есть проекция ни одной кривой D-разбиения не имеет точек самопересечения, а положительное направление обхода кривых — слева направо.

Рассмотрим функцию  $F_0$  с областью определения  $(-\mu, +\infty)$  и счетный набор функций  $F_n$  с областью определения  $\mathbb{R}$  ( $n \geq 1$ ). Разрешим уравнение  $S_1(\varphi) = r_1$  при каждом фиксированном  $r_1$  на интервале  $(\pi n, \pi(n+1)) \cap \mathbb{R}_+$  и положим  $F_n(r_1) = S_2(\varphi)$ . Таким образом, кривая  $C_n$  задается уравнением  $r_2 = F_n(r_1)$ .

Рассмотрим простой S-набор  $\omega_n$  при  $n \geq 1$ . Обозначим область, содержащую начало координат, через  $D_0^n$  и присвоим ей нулевой относительный индекс. Эта область задается неравенством  $(F_n(r_1) - r_2)(-1)^n > 0$  при  $r_1 \in \mathbb{R}$ . Область, не содержащую начало координат, обозначим через  $D_1^n$ . Соответственно, эта область задается неравенством  $(F_n(r_1) - r_2)(-1)^n < 0$  при  $r_1 \in \mathbb{R}$ . Найдем относительные индексы этих областей.

Кривая  $C_n$  пересекает ось  $r_1$  в единственной точке  $\mathbf{S}(a_n)$ . Имеем  $\Delta(a_n) = -\sin a_n$  и  $S'_2(a_n) = -a_n(a_n - \sin a_n \cos a_n) / \sin a_n$ . Следовательно четные кривые являются положительными, а в точке пересечения с осью  $r_1$  направление положительного обхода кривой — снизу вверх; а нечетные кривые — отрицательны, а в точке пересечения с осью  $r_1$  направление положительного обхода кривой — сверху вниз. По теореме 1 [4] и в том и другом случае первая компонента вектора  $\nabla \operatorname{Re} Z_\varphi(\mathbf{S}(a_n))$  положительна. Иными словами,  $\rho_{\omega_n}(D_0^n) = 0$  и  $\rho_{\omega_n}(D_1^n) = 2$ .

Рассмотрим набор  $\omega_0$ . Этот набор не является простым, поскольку кривая  $C_0$  пересекает  $L_0$  в единственной точке  $\mathbf{S}(a_0)$ . Существует четыре области этого набора:  $D_0^0$ ,  $D_1^0$ ,  $D_2^0$  и  $D_3^0$ . Прямая  $L_0$  — нестационарная,  $\Delta'(0) = -1$ , кривая  $C_0$  отрицательна. Точки  $\mathbf{S}(c_0)$ ,  $\mathbf{S}(b_0)$  расположены выше оси  $r_1$ , схематичное взаимное расположение линий набора изображено на рис. 5. Расставим относительные индексы областей следующим образом:  $\rho_{\omega_0}(D_0^0) = 0$ ,  $\rho_{\omega_0}(D_1^0) = 1$ ,  $\rho_{\omega_0}(D_2^0) = 2$  и  $\rho_{\omega_0}(D_3^0) = 3$ .

Особенно нас будет интересовать область  $D_0^0$ , которая описывается неравенствами  $0 < r_2 < F_0(r_1)$  и  $r_1 \in (-\mu, S_1(a_0))$ . Покажем, что  $D_0^0 \subset D_0^n$  при любом  $n \geq 1$ . Для нечетных  $n$  это очевидно. Покажем, что из  $r_1 \in (-\mu, S_2(b_n))$  вытекает  $F_n(r_1) > F_0(r_1)$  при четных  $n$ . Для этого зафиксируем  $r_1$  и найдем  $\varphi_0$  и  $\varphi_n$  — корни уравнения  $r_1 = S_1(\varphi)$  из интервалов  $(0, \pi)$  и  $(\pi n, \pi(n+1))$  соответственно. Очевидно,  $\sin \varphi_0 > 0$  и  $\sin \varphi_n > 0$ . При этом  $S_1(\pi/2) = \pi^2/4$ , поэтому если  $r_1 < \pi^2/4$ , то  $\cos \varphi_0 > 0$ , а если  $r_1 > \pi^2/4$ , то  $\cos \varphi_0 < 0$ . Аналогично, из равенства  $S_1(\pi(n+1/2)) = \pi^2(n+1/2)^2$  вытекает, что  $\cos \varphi_n > 0$  при  $r_1 < \pi^2(n+1/2)^2$  и  $\cos \varphi_n < 0$  при  $r_1 > \pi^2(n+1/2)^2$ .



Пусть  $r_1 < 0$ , тогда  $\cos \varphi_0 > 0$  и  $\cos \varphi_n > 0$ . Выразим из  $r_1 = S_1(\varphi)$  выражение

$$\varphi \sin \varphi = \mu \varphi^2 / \sqrt{\mu^2 \varphi^2 + (\varphi^2 - r_1)^2}.$$

Функция, стоящая справа от знака равенства, монотонно возрастает, поэтому  $\varphi_n \sin \varphi_n > \varphi_0 \sin \varphi_0$ . С другой стороны, если переписать уравнение  $r_1 = S_1(\varphi)$  в виде  $\varphi \operatorname{ctg} \varphi = (\varphi^2 - r_1)/\mu$ , получим, что  $\varphi_n \operatorname{ctg} \varphi_n > \varphi_0 \operatorname{ctg} \varphi_0$ , следовательно,

$$S_2(\varphi_n) = \varphi_n \sin \varphi_n (\varphi_n \operatorname{ctg} \varphi_n + \mu) > \varphi_0 \sin \varphi_0 (\varphi_0 \operatorname{ctg} \varphi_0 + \mu) = S_2(\varphi_0).$$

Пусть  $0 \leq r_1 < \pi^2/4$ , тогда, переписав уравнение  $r_1 = S_1(\varphi)$  в виде  $\operatorname{ctg} \varphi = \frac{\varphi^2 - r_1}{\mu \varphi}$ , получаем  $\operatorname{ctg} \varphi_n > \operatorname{ctg} \varphi_0 > 0$ , следовательно,  $0 < \cos \varphi_0 < \cos \varphi_n$  и  $0 < \sin \varphi_n < \sin \varphi_0$ . Используя уравнение  $r_1 = S_1(\varphi)$ , получим  $S_2(\varphi) = \mu \varphi / \sin \varphi + r_1 \cos \varphi$ , откуда получаем  $S_2(\varphi_n) > S_2(\varphi_0)$ .

Допустим,  $\pi^2/4 \leq r_1 \leq \pi^2(n + 1/2)^2$ , тогда,  $S_2(\varphi_0) \leq \mu \varphi_0 \sin \varphi_0 \leq \pi \mu$ , а  $S_2(\varphi_n) \geq \mu \varphi_n / \sin \varphi_n \geq \mu \pi n$ .

Область  $D_0^0$  расположена левее полосы  $\pi^2(n + 1/2)^2 < r_1 < S_2(b_n)$ . Будем полагать, что оба выражения  $S_2(\varphi_0)$ ,  $S_2(\varphi_n)$  положительны: в этом случае  $\operatorname{ctg} \varphi_0 < 0$  и  $\operatorname{ctg} \varphi_n < 0$ , поэтому уравнение  $r_1 = S_1(\varphi)$  можно переписать в виде  $|\varphi \operatorname{ctg} \varphi| = (r_1 - \varphi^2)/\mu$ , откуда получаем  $|\varphi_n \operatorname{ctg} \varphi_n| < |\varphi_0 \operatorname{ctg} \varphi_0|$ . Усилим последнее неравенство:  $|\operatorname{ctg} \varphi_n| < |\operatorname{ctg} \varphi_0|$ , из которого вытекает, что  $\sin \varphi_n > \sin \varphi_0$ , но тогда

$$S_2(\varphi_n) = \varphi_n \sin \varphi_n (\mu - |\varphi_n \operatorname{ctg} \varphi_n|) > \varphi_0 \sin \varphi_0 (\mu - |\varphi_0 \operatorname{ctg} \varphi_0|) = S_1(\varphi_0).$$

Итак,  $D_0^0 = \bigcap_{n=0}^{\infty} D_0^n$ , поэтому  $D_0^0$  — единственная область с нулевым индексом относительно полного набора, а все остальные области D-разбиению имеют положительный индекс относительно полного набора. Известно [4, Теорема 12], [3, с. 130], что область устойчивости не пуста, следовательно,  $D_0^0$  — область устойчивости. Эта область выделена жирной линией на рис. 4.

Рассмотрим случай  $\mu < 0$ .

Рассмотрим функцию

$$g(\varphi) = -\frac{2\varphi \sin^2 \varphi}{\varphi - \sin \varphi \cos \varphi}.$$

Уравнение  $S_1'(\varphi) = 0$  равносильно уравнению  $\mu = g(\varphi)$ .

Имеем  $\lim_{\varphi \rightarrow 0} g(\varphi) = -3$  и  $g(\pi) = 0$ , а  $g$  монотонно возрастает на интервале  $(0, \pi)$ , поэтому при  $\mu \in (-3, 0)$  функция  $S_1$  имеет единственный экстремум (максимум) на интервале  $(0, \pi)$ , а при  $\mu \leq -3$  функция  $S_1$  монотонно убывает на данном интервале.

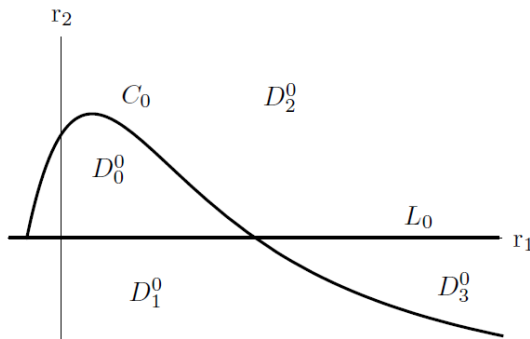


Рис. 5. Набор  $\omega_0$  при  $\mu > -1$

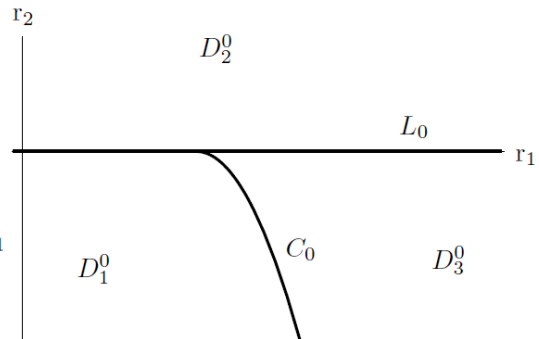


Рис. 6. Набор  $\omega_0$  при  $\mu \leq -1$

Рассмотрим набор  $\omega_0$ . Имеем

$$\lim_{\varphi \rightarrow 0} \frac{S'_2(\varphi)}{S'_1(\varphi)} = 3 \frac{1 + \mu}{3 + \mu},$$

поэтому возможны два варианта качественного расположения областей набора. Если  $\mu \in (-1, 0)$ , то имеются три области: обозначим их так, как схематично изображено на рис. 5 и проиндексируем так:

$$\rho_{\omega_0}(D_0^0) = 0, \rho_{\omega_0}(D_1^0) = 1, \rho_{\omega_0}(D_2^0) = 2, \rho_{\omega_0}(D_3^0) = 3.$$

Если  $\mu \leq -1$ , то областей всего 3: обозначим их так, как изображено на рис. 6 и проиндексируем следующим образом:

$$\rho_{\omega_0}(D_1^0) = 1, \rho_{\omega_0}(D_2^0) = 2, \rho_{\omega_0}(D_3^0) = 3.$$

В дальнейшем нас будет особенно интересовать случай  $\mu \in (-1, 0)$  и область  $D_0^0$ . Рассмотрим прямоугольник

$$V_0 = \{ \mathbf{r} \in \mathbb{R}^2 : r_1 \in (0, 4\pi^2/9), r_2 \in (0, \pi) \}.$$

Покажем, что область  $D_0^0$  принадлежит  $V_0$ . Так как  $S_2(\pi/2) = \mu\pi/2 < 0$ , имеем  $a_0 < \pi/2 < \eta$ , где  $\eta$  — точка максимума функции  $S_1$ , поэтому верхняя граница области  $D_0^0$  представляет собой участок  $C_0^{(0, a_0)}$ , следовательно, для любой точки этой области выполняются неравенства

$$0 < r_1 < S_1(a_0) = \mu^2 + a_0^2 < 1 + \pi^2/4 < 4\pi^2/9,$$

$$0 < r_2 < \pi^2/4 < \pi.$$

Рассмотрим набор  $\omega_n$  при  $n \geq 1$ . Характер кривой  $C_n$  зависит знака величины  $2 + \mu$ . Если  $\mu < -2$ , то  $S_1(c_n) < 0$ . Если  $\text{ctg } \varphi < 0$ , то  $g(\varphi) > -2$ , следовательно, если  $\eta$  — корень уравнения  $\mu = g(\varphi)$ , то  $S_1(\eta) > 0$ . Таким образом, при  $\mu \leq -2$  кривая  $C_n$  простая, а при  $\mu \in (-2, 0)$  может иметь петли.

Исследование петель — довольно трудоемкая задача, но, к счастью, нам достаточно знать только их возможное расположение и возможные относительные индексы.

Покажем, что при  $\mu \in (-2, 0)$  все петли кривой  $C_n$  расположены в полуполосе

$$V_n = \{ \mathbf{r} \in \mathbb{R}^2 : (-1)^n r_2 > 0, \pi^2 n^2 < r_1 < \pi^2 (n+1)^2 \}.$$

На рис. 7 границы областей  $V_0, V_1$  и  $V_2$  обозначены тонкими линиями.

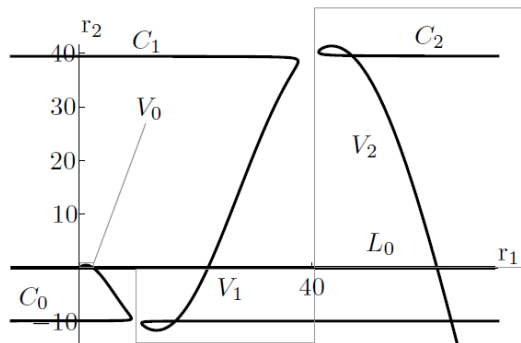


Рис. 7. Области D-разбиения при  $\mu = -0.01$

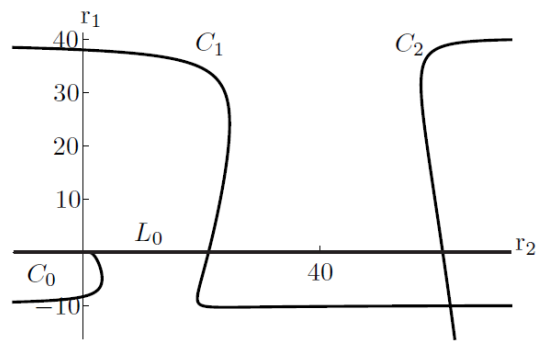


Рис. 8. Области D-разбиения при  $\mu = -1$

Если  $\eta$  — корень уравнения  $\mu = g(\varphi)$ , то  $S_1(\eta) = \eta^2 \frac{\eta + \sin \eta \cos \eta}{\eta - \sin \eta \cos \eta}$ . Согласно лемме 2 если  $\eta \in (\pi n, \pi(n+1))$ , то  $\pi^2 n^2 < S_1(\eta) < \pi^2(n+1)^2$ . Все экстремумы функции  $S_1$  принадлежат  $V_n$ , поэтому и все петли принадлежат полосе  $\pi^2 n^2 < r_1 < \pi^2(n+1)^2$ . Участок  $C^{(\pi n, a_n)}$  расположен в полуплоскости  $(-1)^n r_2 > 0$ , а участок  $C^{(a_n, \pi(n+1))}$  — в полуплоскости  $(-1)^n r_2 < 0$ . При этом  $\text{sgn } S_2(c_n) = (-1)^n$ . Итак, мы доказали, что любая петля принадлежит полуполосе  $V_n$  и, кроме того, петли может образовывать только участок  $C^{(\pi n, a_n)}$ .

Итак, если  $\mu \leq -2$ , то имеются две неограниченные области набора:  $D_0^n$  (содержащее начало координат) и  $D_1^n$  (не содержащее начало координат) с относительным индексами 0 и 2 соответственно. Если  $\mu \in (-2, 0)$ , то согласно лемме 1 кроме этих двух неограниченных областей могут присутствовать конечное количество петель, относительный индекс которых не меньше, чем  $-2$ . На рис. 9, 10 изображена кривая  $C_1$  при различных значениях  $\mu$ : в первом случае у кривой присутствует одна петля, а во втором — петли отсутствуют.

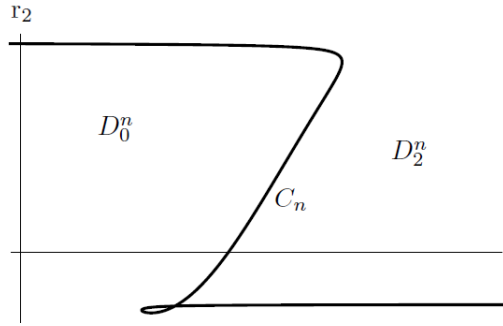


Рис. 9. Набор  $\omega_1$  при  $\mu = -0.1$

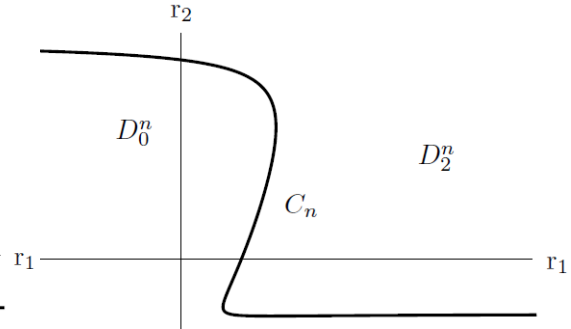


Рис. 10. Набор  $\omega_1$  при  $\mu = -1$

Докажем, что индекс точки относительно полного набора  $\Omega$  равен абсолютному индексу областей. Для этого вычислим индекс начала координат: эта точка принадлежит пересечению областей  $\bigcap_{n=1}^{\infty} D_0^n$ , а индекс этой точки относительно  $\omega_0$  равен двум, то есть  $\rho(0, 0) = \rho_{\Omega}(0, 0) = 2$ .

Итак, при  $\mu \leq 1$  суммарный относительный индекс любой точки положителен, следовательно, область устойчивости пуста (рис. 10).

Пусть  $\mu > -1$ . Имеем  $V_n \cap V_m = \emptyset$  при  $m \neq n$ . Следовательно, нулевой абсолютный индекс могут иметь лишь точки, расположенные внутри  $D_0^0$  или петель кривых  $C_n$ . Однако,  $V_n \subset D_2^0$  при четных  $n$  и  $V_n \subset D_3^0$  при нечетных  $n$ , поэтому абсолютный индекс точек внутри петли, образуемой кривой  $C_n$  не меньше, чем  $n$ .

Докажем, что  $D_0^0$  — подмножество области  $D_0^n$  при любом  $n$ . Предположим, что  $C_n$  пересекает  $V_0$ , тогда из  $S_1(\varphi) < 4\pi^2/9$ ,  $\varphi > \pi$  вытекает  $\mu \text{ctg } \varphi > \varphi - 4\pi^2/(9\varphi) > 5\pi/9 > 1$ , следовательно,  $\text{ctg } \varphi < -1$ . Если  $n$  — четное, то  $\cos \varphi < -\sqrt{2}/2$  и  $\sin \varphi > 0$ , поэтому  $S_2(\varphi) < 0$ . Если  $n$  — нечетное, то  $\cos \varphi > \sqrt{2}/2$  и  $\sin \varphi < 0$ , следовательно,  $S_2(\varphi) > \pi^2/\sqrt{2} > \pi$  — противоречие. Центральная точка прямой  $L_0$  принадлежит  $D_0^n$ , следовательно,  $D_0^0 \subset D_0^n$ .

Итак,  $D_0^0$  состоит из тех и только тех точек, абсолютный индекс которых равен нулю, а принадлежность  $\{\zeta, \beta\}$  этой области и неравенство  $\mu > -1$  эквивалентно тому, что точка  $\{\zeta, \beta, \mu\}$  принадлежит  $\mathcal{D}_9$ .  $\square$

3.2. **Уравнение (40):**  $\chi \operatorname{ch} z + \mu z e^z + \nu z + z^2 e^z = 0$ . Рассмотрим следующие функции:

$$g_1(\varphi) = -\frac{2\varphi \cos^2 \varphi}{\varphi + \sin \varphi \cos \varphi},$$

$$g_2(\varphi) = -1 - \varphi \operatorname{ctg} \varphi.$$

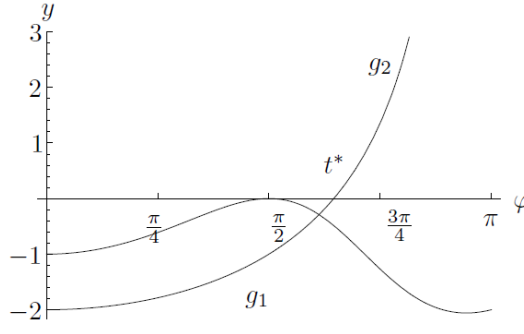


Рис. 11. Функции  $g_1$  и  $g_2$

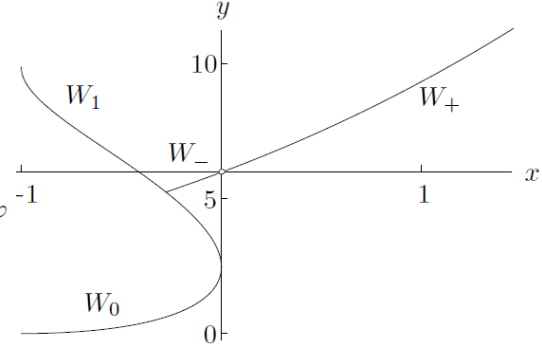


Рис. 12. Функции  $W_+$ ,  $W_-$ ,  $W_0$ ,  $W_1$

**Лемма 3.** Если  $\varphi \in [\pi n - \pi/4, \pi n + \pi/6]$ , где  $n \in \mathbb{N}$ , то  $g_1(\varphi) \leq -1$ .

*Доказательство.* Неравенства  $g_1(\varphi) \leq -1$  и  $2\varphi \cos 2\varphi \geq \sin 2\varphi$  эквивалентны при  $\varphi > 0$ .

Предположим, что  $\varphi \in [\pi n - \pi/4, \pi n]$ , тогда  $\cos 2\varphi \geq 0$  и  $\sin 2\varphi \leq 0$ , следовательно,  $\sin 2\varphi \leq 0 \leq 2\varphi \cos 2\varphi$ .

Пусть  $\varphi \in (\pi n, \pi n + \pi/6]$ , тогда  $\cos 2\varphi \geq 1/2$  и  $\sin 2\varphi < \sqrt{3}/2$ , следовательно,  $\sin 2\varphi < \pi < 2\varphi \cos 2\varphi$ .  $\square$

**Лемма 4.** Уравнение  $g_1(\varphi) = g_2(\varphi)$  имеет единственное решение  $t^*$  на интервале  $(\pi/2, \pi)$ , причем  $t^* < 3\pi/4$ .

*Доказательство.* Функция  $g_2$  монотонно возрастает на этом интервале и  $g_2(\varphi) > -1$ . В то же время если  $g_1(\varphi) > -1$ , то  $\varphi \in (\pi/2, 3\pi/4)$  согласно лемме 3. Далее,

$$(62) \quad g_1'(\varphi) = \frac{\sin 2\varphi(2\varphi^2 + \varphi \operatorname{ctg} \varphi - \cos^2 \varphi)}{(\varphi + \sin \varphi \cos \varphi)^2}.$$

Имеем

$$2\varphi^2 + \varphi \operatorname{ctg} \varphi - \cos^2 \varphi > \frac{\pi(\pi - 1)}{2} - 1 > 0,$$

поэтому  $g_1$  убывает на интервале  $(\pi/2, 3\pi/4)$ , следовательно, существует единственная точка пересечения графиков функции  $g_1$  и  $g_2$  на этом интервале.

При  $\varphi \in [3\pi/4, \pi)$  имеем  $g_1(\varphi) < -1 < g_2(\varphi)$ , поэтому  $t^* < 3\pi/4$ .  $\square$

Обозначим  $\mu^* = g_1(t^*)$ . В силу  $\operatorname{ctg} t^* > 0$  и  $g_2(t^*) < 0$  имеем  $\mu^* \in (-1, 0)$ .

Примерно:  $t^* \approx 1.92467$  и  $\mu^* \approx -0.28898$ .

Рассмотрим систему уравнений

$$(63) \quad \begin{cases} \varphi^2 + \mu\varphi \operatorname{tg} \varphi = \psi^2 + \mu\psi \operatorname{tg} \psi, \\ \varphi \sin \varphi - \mu \cos \varphi = \psi \sin \psi - \mu \cos \psi. \end{cases}$$

**Лемма 5.** Если  $\mu > 0$ , то система (63) имеет единственное решение, удовлетворяющее условию  $0 < \varphi < \pi/2 < \psi < 3\pi/2$ .

**Лемма 6.** Если  $\mu \in (\mu^*, 0)$ , то система (63) имеет единственное решение, удовлетворяющее условию  $\pi/2 < \varphi < \psi < \pi$ . Если  $\mu \leq \mu^*$ , то у системы (63) не существует решения, удовлетворяющего условию  $\pi/2 < \varphi < \psi < \pi$ .

Рассмотрим функцию  $W_+$ , ставящую каждому  $\mu > 0$  число, равное  $\varphi^2 + \mu\varphi \operatorname{tg} \varphi$ , где  $\varphi, \psi$  — решение системы (63) такое, что  $0 < \varphi < \pi/2 < \psi < 3\pi/2$ .

Рассмотрим функцию  $W_-$ , ставящую каждому  $\mu \in (\mu^*, 0)$  число, равное  $\varphi^2 + \mu\varphi \operatorname{tg} \varphi$ , где  $\varphi, \psi$  — решение системы (63) такое, что  $\pi/2 < \varphi < \psi < \pi$ .

Рассмотрим функцию  $W_0$ , ставящую каждому  $\mu \in (-1, 0)$  в соответствии число, равное  $\varphi^2 + \mu\varphi \operatorname{tg} \varphi$ , где  $\varphi$  — корень уравнения  $\mu = g_1(\varphi)$  из интервала  $(0, \pi/2)$ .

Рассмотрим функцию  $W_1$ , ставящую каждому  $\mu \in (-1, 0)$  в соответствии число, равное  $\varphi^2 + \mu\varphi \operatorname{tg} \varphi$ , где  $\varphi$  — корень уравнения  $\mu = g_1(\varphi)$  из интервала  $(\pi/2, \pi)$ .

**Лемма 7.** Если  $\mu \in (-1, 0)$ , то  $0 < W_0(\mu) < W_1(\mu)$ . Если  $\mu \in (\mu^*, 0)$ , то  $W_1(\mu) < W_-(\mu)$ .

Доказательство лемм 5–7 будет дано ниже.

**Лемма 8.** Функция

$$f(\varphi) = \varphi^2 \frac{\varphi - \sin \varphi \cos \varphi}{\varphi + \sin \varphi \cos \varphi}$$

отображает отрезок  $[0, \pi/2]$  в  $[0, \pi^2/4]$ , а при любом  $k \geq 1$  отрезок  $[-\pi/2 + \pi k, \pi/2 + \pi k]$  в  $[(-\pi/2 + \pi k)^2, (\pi/2 + \pi k)^2]$ .

*Доказательство.* Проведем замену переменных  $\psi = 2\varphi$  и рассмотрим функцию  $g(\psi) = 2f(\varphi)$ . На отрезке  $[2\pi n, 2\pi n + \pi]$  функция  $g$  монотонно возрастает при любом  $n \in \mathbb{N}_0$ . Таким образом, остается показать, что если  $\varphi \in (-\pi + 2\pi n, 2\pi n)$ , то  $\pi^2(2n-1)^2 < g(\varphi) < \pi^2(2n+1)^2$ .

Первое неравенство эквивалентно следующему:

$$(64) \quad \varphi(\varphi^2 - \pi^2(2n-1)^2) > (\varphi^2 + \pi^2(2n-1)^2) \sin \varphi,$$

а второе — следующему:

$$(65) \quad \frac{2|\sin \varphi|}{\varphi + \sin \varphi} < \left( \frac{\pi(2n+1)}{\varphi} \right)^2 - 1.$$

Неравенство (64) выполняется в силу неположительности  $\sin \varphi$ . Усилим неравенство (65):

$$\frac{2}{2\pi n + \pi - 1} < \frac{1 + 4n}{4n^2}.$$

Перепишем последнее неравенство в виде:

$$8(\pi - 1)n^2 + (6\pi - 4)n + \pi - 1 > 0,$$

которые выполняется при любом положительном  $n$  (так как корни квадратного трехчлена, стоящего слева, отрицательны).  $\square$

Рассмотрим уравнение

$$(66) \quad r_1 = \varphi^2 + r_3 \varphi \operatorname{tg} \varphi$$

и интервал

$$(67) \quad I^* = (\eta_0 \sin \eta_0 - r_3 \cos \eta_0, \eta_1 \sin \eta_1 - r_3 \cos \eta_1).$$

Рассмотрим область  $\mathcal{D}_{10}$  в пространстве  $\mathbb{R}^3$  содержащую такие точки, что  $r_3 > -1$  и

- при  $r_3 > 0$  выполняются неравенства:  $r_1 \in (0, W_+(r_3))$  и  $r_2 \in I^*$ , где  $\eta_0, \eta_1$  — корни уравнения (66) такие, что  $0 < \eta_0 < \pi/2 < \eta_1 < 3\pi/2$ .
- при  $r_3 = 0$  выполняются неравенства:  $r_1 \in (0, \eta^2) \setminus \{\pi^2/4\}$ , где  $\eta$  — единственный корень уравнения  $\eta \sin \eta = \pi/2$  из интервала  $(\pi/2, \pi)$ , и если  $r_1 < \pi^2/4$ , то  $\sqrt{r_1} \sin \sqrt{r_1} < r_2 < \pi/2$ , а если  $r_1 > \pi^2/4$ , то  $\pi/2 < r_2 < \sqrt{r_1} \sin \sqrt{r_1}$ .
- при  $r_3 \in (\mu^*, 0)$  выполняются неравенства:  $r_1 \in (0, W_0(r_3)) \cup (W_1(r_3), W_-(r_3))$  и  $r_2 \in I^*$ , где  $\eta_0, \eta_1$  — корни уравнения (66) такие, что

$$\begin{cases} 0 < \eta_0 < \eta_1 < \pi/2, & \text{если } r_1 < W_0(r_3), \\ \pi/2 < \eta_0 < \eta_1 < \pi, & \text{если } r_1 > W_1(r_3). \end{cases}$$

- при  $r_3 \in (-1, \mu^*]$  выполняются неравенства:  $r_1 \in (0, W_0(r_3))$  и  $r_2 \in I^*$ , где  $\eta_0, \eta_1$  — корни уравнения (66) такие, что  $0 < \eta_0 < \eta_1 < \pi/2$ .

Область  $\mathcal{D}_{10}$  связна, ограничена и частично изображена на рис. 13.

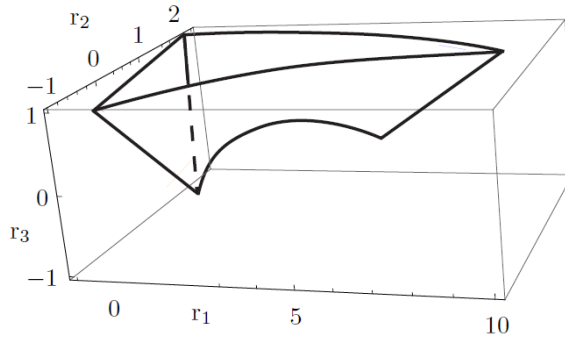


Рис. 13. Область  $\mathcal{D}_{10}$  (выше)

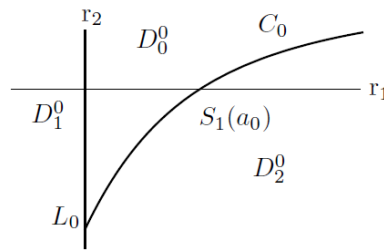


Рис. 14. Набор  $\omega_0$  в случае  $\mu > 0$

**Теорема 5.** Для того чтобы все корни характеристического уравнения (40) имели отрицательные вещественные части, необходимо и достаточно, чтобы точка  $\{\chi, \nu, \mu\}$  принадлежала области  $\mathcal{D}_{10}$ .

Далее будем рассматривать уравнение (40) как однопараметрическое семейство двухпараметрических уравнений (11) первого рода, где  $p_1 = \chi, p_2 = \nu$ , а  $\mu$  — параметр семейства.

Из  $f_1(z) = \operatorname{ch} z, f_2(z) = z$  и  $f_0(z) = z^2 e^z + \mu z e^z$  находим  $\Delta(\varphi) = \varphi \cos \varphi$  и  $u_1(\varphi) = \varphi^3 \cos \varphi + \mu \varphi^2 \sin \varphi, u_2(\varphi) = \varphi \cos \varphi (\varphi \sin \varphi - \mu \cos \varphi)$ .

Случай  $\mu = 0$  сводится к теореме 10 [4], поэтому далее будем полагать  $\mu \neq 0$ , тогда  $\theta_0 = \xi_0 = 0, \xi_n = \pi(n - 1/2)$ , где  $n \in \mathbb{N}$ , то есть имеется единственная прямая  $L_0$  и счетное множество кривых  $C_n$ , которые задаются отображением

$$\mathbf{S}(\varphi) = \{\varphi^2 + \mu \varphi \operatorname{tg} \varphi, \varphi \sin \varphi - \mu \cos \varphi\}.$$

Найдем точки пересечения проекций кривых D-разбиения с осями координат. Для каждого  $n \geq 0$  обозначим через  $a_n$  единственный корень уравнения  $\mu = \varphi \operatorname{tg} \varphi$  из интервала  $(\pi(n - 1/2), \pi(n + 1/2)) \cap (0, +\infty)$ . Точка  $\mathbf{S}(a_n)$  — единственная точка пересечения кривой  $C_n$  с положительной полуосью  $r_1$ . Имеем  $S_1(a_n) = \mu^2 + a_n^2, n \in \mathbb{N}_0$ .

Для каждого  $n \geq 1$  обозначим через  $b_n$  единственный корень уравнения  $\mu = -\varphi \operatorname{ctg} \varphi$  из интервала  $(\pi(n - 1/2), \pi(n + 1/2)) \cap (0, +\infty)$ , тогда  $\mathbf{S}(b_n)$  — единственная точка пересечения кривой  $C_n$  с осью  $r_2$ . Имеем  $S_2(b_n) = (-1)^n \operatorname{sgn} \mu \sqrt{\mu^2 + b_n^2}, n \in \mathbb{N}$ .

Отметим, что при  $\mu \in (-1, 0)$  существует  $b_0$  — единственный корень уравнения  $\mu = -\varphi \operatorname{ctg} \varphi$  из интервала  $(0, \pi/2)$ , причем  $S_2(b_0) = \sqrt{\mu^2 + b_0^2}$ . Если  $\mu \notin (-1, 0)$ , то данное уравнение неразрешимо на этом интервале.

Далее,  $\Delta'(0) = 1$ ,

$$\Delta' \left( \pi \left( n - \frac{1}{2} \right) \right) = \pi \left( n - \frac{1}{2} \right) (-1)^{n-1}, u_1 \left( \pi \left( n - \frac{1}{2} \right) \right) = \mu \pi^2 (n - 1/2)^2 (-1)^n,$$

поэтому согласно теореме 3 полный набор может быть представлен в виде объединения Т-набора  $\omega_0$ , состоящего из прямой  $L_0$  и кривой  $C_0$ , и счетного набора S-наборов  $\omega_n$ , каждый из которых состоит только из кривой  $C_n$ .

Кривая  $C_n$  пересекает ось  $r_1$  в единственной точке  $\mathbf{S}(a_n)$ . Центральная точка прямой  $L_0$  имеет координаты  $\{0, -\mu\}$ . Проиндексируем все S-наборы таким образом, чтобы относительный индекс начала координат был равен нулю. Кривая  $C_n$  не пересекает интервал  $(-\mu, 0)$  оси  $r_2$ , поэтому индекс точки  $\{0, -\mu\}$  относительно любого S-набора тоже равен нулю.

Проиндексируем Т-набор следующим образом. Через начало координат проходит прямая  $L_0$ , а кривая  $C_0$  не проходит, поэтому это неособая точка набора. Присвоим ей единичный относительный индекс в том случае, если  $\mu > 0$ . Если  $\mu < 0$ , то присвоим этой точке относительный индекс, равный двум.

Началу координат соответствует характеристическое уравнение  $z(z + \mu) = 0$ , поэтому абсолютный индекс точки равен единице, если  $\mu > 0$ , и двум, если  $\mu \leq 0$ . Таким образом, согласно теореме 1 для любой неособой точки  $\mathbf{p}$  имеем  $\rho(\mathbf{p}) = \sum_{n=0}^{\infty} \rho \omega_n(\mathbf{p})$ .

Исследуем поведение функции  $S_1$ . Уравнение  $S_1'(\varphi) = 0$  равносильно уравнению  $\mu = g_1(\varphi)$ . Поскольку  $g_1 \leq 0$ , то при  $\mu > 0$  функция  $S_1$  монотонно возрастает в точках своей непрерывности.

Пусть  $\eta$  — точка экстремума функции  $S_1$ , тогда

$$(68) \quad S_1(\eta) = \frac{\eta^2(\eta - \sin \eta \cos \eta)}{\eta + \sin \eta \cos \eta} > 0,$$

следовательно, участок проекции любой кривой D-разбиения, расположенный в полуплоскости  $r_1 < 0$ , представляет собой простую кривую, а все петли на проекциях кривых располагаются в полуплоскости  $r_1 > 0$ .

Покажем, что если  $\mu \in (-1, 0)$ , то уравнение  $g_1(\varphi) = \mu$  имеет единственный корень на интервале  $(\pi n/2, \pi(n+1)/2)$  при каждом  $n \in \mathbb{N}_0$ . Обозначим этот корень через  $c_n$ .

Имеем  $g_1(\pi n) = -2$  и  $g_1(\pi(n+1/2)) = 0$ , поэтому при  $\mu \in (-1, 0)$  уравнение  $\mu = g_1(\varphi)$  имеет по крайней мере один корень на каждом интервале  $(\pi n/2, \pi(n+1)/2)$ . На интервале  $(\pi n, \pi(n+1/2))$  согласно формуле (62) получаем

$$\operatorname{sgn} g_1'(\varphi) = \operatorname{sgn} \sin 2\varphi (2\varphi^2 + \operatorname{ctg} \varphi (\varphi - \sin \varphi \cos \varphi)) > 0.$$

Рассмотрим интервал  $(\pi(n-1/2), \pi n)$ . Согласно лемме 3 достаточно рассмотреть интервал  $(\pi(n-1/2), \pi(n-1/4))$ . На этом интервале  $\operatorname{ctg} \varphi \in (-1, 0)$ , следовательно,  $g_1'(\varphi) < 0$  в силу выражения (62).

Пусть  $\mu \in (-1, 0)$ . В силу  $c_n \in (\pi n, \pi(n+1/2))$  и согласно лемме 8 получаем  $S_1(c_n) < \pi n < S_1(c_{n-1})$ . Итак, все экстремумы функции  $S_1$  упорядочены по возрастанию.

Исследуем поведение функции  $S_2$ . Равенство  $S_2'(\varphi) = 0$  можно переписать в виде  $\mu = g_2(\varphi)$ . Функция  $g_2$  монотонно возрастает в точках своей непрерывности, следовательно, на интервале  $(0, \pi/2)$  данное уравнение имеет решение только при  $\mu \in (-2, -1)$ .

Таким образом, если  $\mu \geq -1$ , то функция  $S_2$  монотонно возрастает на интервале  $(0, \pi/2)$ . Если  $\mu \in (-2, -1)$ , то функция  $S_2$  имеет единственный минимум на интервале

$(0, \pi/2)$ . Если  $\mu \leq -2$ , то функция  $S_2$  монотонно убывает на интервале  $(0, \pi/2)$ . Итак,  $C_0$  — простая кривая при любых значениях  $\mu \neq 0$ .

При  $n \geq 1$  имеем  $g_2(\pi(n-1/2)) = -1$ , поэтому уравнение  $g_2(\varphi) = -1$  не имеет корней на интервале  $(\pi(n-1/2), \pi(n+1/2))$  при  $n \in \mathbb{N}$ . Иными словами, если  $\mu = -1$ , то все проекции кривых D-разбиения — простые кривые.

Если  $\mu \notin \{-1, 0\}$ , то при  $n \in \mathbb{N}$  уравнение  $\mu = g_2(\varphi)$  имеет единственный корень на интервале  $(\pi(n-1/2), \pi(n+1/2))$ , следовательно, при  $n \in \mathbb{N}$  функция  $S_2$  имеет ровно один экстремум на этом интервале. Обозначим точку экстремума через  $d_n$ . Имеем

$$S_2''(d_n) = \frac{\mu + 1}{d_n \cos d_n} (d_n - \sin d_n \cos d_n),$$

следовательно, если  $\mu > -1$ , то при четных  $n$  функция  $S_2$  имеет в точке  $d_n$  локальный минимум, а при нечетных  $n$  — локальный максимум.

Заметим, что если  $\mu > -1$ , то  $d_n \in (\pi(n-1/2), \pi n)$ , а если  $\mu < -1$ , то  $d_n \in (\pi n, \pi(n+1/2))$ .

Свойства кривых D-разбиения качественно зависят от величины  $\mu$ . Рассмотрим три случая.

### 1. Случай $\mu > 0$ .

В этом случае проекции D-разбиения удобно задать иначе. Рассмотрим функцию  $F_0 : \mathbb{R}_+ \rightarrow \mathbb{R}$  и множество функций  $F_n : \mathbb{R} \rightarrow \mathbb{R}$ , где  $n \in \mathbb{N}$ . Функция  $S_1$  монотонно возрастает в точках своей непрерывности, поэтому разрешив уравнение  $r_1 = S_1(\varphi)$  относительно  $\varphi \in (\pi(n-1/2), \pi(n+1/2)) \cap \mathbb{R}_+$ , положим  $F_n(r_1) = S_2(\varphi)$ . Итак, при  $n \in \mathbb{N}_0$  кривая  $C_n$  — это график функции  $r_2 = F_n(r_1)$ .

*Доказательство леммы 5.* Докажем, что если числа  $m$  и  $n$  имеют различную четность, то уравнение  $F_n(r_1) = F_m(r_1)$  имеет единственное решение. Пусть  $m$  — четное число, а  $n$  — нечетное. Без ограничения общности можно считать, что  $m < n$ .

Пусть  $m = 0$ , а  $n$  — нечетное натуральное число. На интервале  $(0, \pi/2)$  функция  $S_2$  строго возрастает, поэтому и функция  $F_0$  строго возрастает на  $\mathbb{R}_+$ . Из  $S_2(0) = -\mu$  и  $S_2(\pi/2) = \pi/2$  вытекает, что график функции  $F_0$  расположен в полосе  $r_1 > 0$ ,  $r_2 \in (-\mu, \pi/2)$ .

Заметим, что  $F_n(\pi^2 n^2) = \pi n$ .

Выше мы показали, что точка максимума функции  $S_2$  (точка  $d_n$ ) принадлежит интервалу  $(\pi(n-1/2), \pi n)$ , поэтому точка максимума функции  $F_n$  (точка  $S_1(d_n)$ ) принадлежит интервалу  $(0, \pi^2 n^2)$ . Итак, при  $r_1 \leq \pi^2 n^2$  имеем  $F_0(r_1) < \pi^2 n^2 \leq F_n(r_1)$ . На множестве  $(\pi^2 n^2, +\infty)$  функция  $F_0$  растет, а  $F_n$  убывает, кроме того,

$$\lim_{r_1 \rightarrow \infty} F_n(r_1) = -\pi/(n+1/2) < \pi/2 = \lim_{r_1 \rightarrow \infty} F_0(r_1),$$

поэтому существует единственная точка пересечения графиков функций  $F_0$  и  $F_n$ .

Теперь пусть  $m$  — четное натуральное число, а  $n$  — нечетное. Отметим, что у функции  $F_m$  существует единственная точка экстремума — это точка минимума, принадлежащая интервалу  $(0, \pi^2 m^2)$ . Тогда при  $r_1 \leq \pi^2 m^2$  имеем  $F_m(r_1) < 0 < F_n(r_1)$ .

В силу  $\lim_{r_1 \rightarrow \infty} F_m(r_1) = \pi(m+1/2)$  при  $r_1 \in (\pi^2 m^2, \pi^2 n^2]$  имеем  $F_m(r_1) < \pi(m+1/2) < \pi n \leq F_n(r_1)$ . На множестве  $(\pi^2 n^2, \infty)$  функция  $F_m$  растет, а  $F_n$  убывает, откуда и вытекает существование и единственность точки пересечения графиков.

Решение системы (63) такое, что  $0 < \varphi < \pi/2 < \psi < 3\pi/2$  соответствует точке пересечения кривых  $C_0$  и  $C_1$ .  $\square$

Докажем, что для любого четного  $n$  из  $r_1 \in (0, S_1(a_n)]$  вытекает  $F_0(r_1) > F_n(r_1)$ .



- (1) Пусть  $r_1 \in (0, \pi^2 n^2]$ . На этом участке функция  $F_n$  имеет единственный экстремум (минимум), поэтому

$$F_n(r_1) \leq \max\{F_n(0), F_n(\pi^2 n^2)\} = \max\{-\sqrt{\mu^2 + b_n^2}, -\mu\} = -\mu.$$

С другой стороны, в силу монотонности  $F_0$  имеем  $F_0(r_1) > F_0(0) = -\mu$ , поэтому на этом участке  $F_0(r_1) > F_n(r_1)$ .

- (2) При  $r_1 \in (S_1(a_0), S_1(a_n)]$  имеем  $F_0(r_1) > 0 \geq F_n(r_1)$ .
- (3) Если  $S_1(a_0) \leq \pi^2 n^2$ , то доказательство утверждения закончено. В противном случае существует полуинтервал  $(\pi^2 n^2, S_1(a_0)]$ , на котором  $-\mu < F_0(r_1) \leq 0$  и  $-\mu < F_n(r_1) < 0$ . Пусть  $r_1$  принадлежит этому полуинтервалу, тогда существуют  $\eta_0$  и  $\eta_n$  — корни уравнения  $r_1 = S_1(\varphi)$  из интервалов  $(0, \pi/2)$  и  $(\pi n, \pi(n+1/2))$  соответственно. Перепишем уравнение  $r_1 = S_1(\varphi)$  в виде  $\operatorname{tg} \varphi = (r_1 - \varphi^2)/(\mu\varphi)$ . Если  $r_1 > 0$ , то функция  $(r_1 - \varphi^2)/(\mu\varphi)$  монотонно убывает, следовательно,  $0 < \operatorname{tg} \eta_n < \operatorname{tg} \eta_0$ , поэтому  $\cos \eta_n > \cos \eta_0 > 0$ , следовательно, Тогда имеем

$$|F_0(r_1)| = \cos \eta_0 \frac{\eta_0^2 + \mu^2 - r_1}{\mu} < \cos \eta_n \frac{\eta_n^2 + \mu^2 - r_1}{\mu} = |F_n(r_1)|.$$

Теперь докажем, что для любого нечетного  $n \geq 2$  из  $r_1 \in [0, S_1(a_n))$  вытекает  $F_n(r_1) > F_1(r_1)$ .

- (1) Пусть  $r_1 \in (0, \pi^2]$ , тогда в силу  $S_1(a_n) > S_1(a_n) > \pi^2$  имеем  $F_0(r_1) > 0$  и  $F_n(r_1) > 0$ . Пусть  $\eta_1$  и  $\eta_n$  — корни уравнения  $r_1 = S_1(\varphi)$  из интервалов  $(\pi/2, \pi)$  и  $(\pi(n-1/2), \pi n)$  соответственно, тогда

$$S_2^2(\eta_1) - \mu^2 = \eta_1^2 - \left(\frac{r_1 \cos \eta_1}{\eta_1}\right)^2 < \pi^2,$$

$$S_2^2(\eta_n) - \mu^2 = \eta_n^2 - \left(\frac{r_1 \cos \eta_n}{\eta_n}\right)^2 > \eta_n^2 - \frac{\pi^4}{\eta_n^2}.$$

Неравенство  $\eta_n^2 - \pi^4/\eta_n^2 > \pi^2$  выполняется при  $\eta_n > \pi\sqrt{(\sqrt{5}+1)/2}$ , в чем нетрудно убедиться. А так как  $\varphi_n > 5\pi/2$ , то на рассматриваемом полуинтервале графики функций не пересекаются.

- (2) При  $r_1 \in (\pi^2, \pi^2 n^2]$  имеем  $F_1(r_1) < \mu \leq F_n(r_1)$ .
- (3) При  $r_1 \in (S_1(a_1), S_1(a_n)]$  имеем  $F_1(r_1) < 0 \leq F_n(r_1)$ .
- (4) Если  $\pi^2 n^2 < S_1(a_1)$ , то необходимо еще рассмотреть полуинтервал  $(\pi^2 n^2, S_1(a_1)]$ . Пусть  $r_1$  принадлежит этому полуинтервалу, а  $\eta_1$  и  $\eta_n$  — корни уравнения  $r_1 = S_1(\varphi)$  из интервалов  $(\pi, 3\pi/2)$  и  $(\pi n, \pi(n+1/2))$  соответственно. Из  $S_1(\eta_1) = S_1(\eta_n)$  вытекает  $0 < \operatorname{tg} \eta_n < \operatorname{tg} \eta_0$ , поэтому  $\cos \eta_n < \cos \eta_0 < 0$ , следовательно,

$$F_1(r_1) = |\cos \eta_1| \frac{\eta_1^2 + \mu^2 - r_1}{\mu} < |\cos \eta_n| \frac{\eta_n^2 + \mu^2 - r_1}{\mu} = F_n(r_1).$$

*Доказательство теоремы 5 в случае  $\mu > 0$ .* Как было показано выше, кривая  $C_0$  не пересекает прямую  $L_0$  и является простой кривой. Относительный индекс начала координат равен нулю, при этом  $\Delta'(0) = 1$ , следовательно, существуют три области набора:  $D_0^0$ ,  $D_1^0$  и  $D_2^0$ , относительные индексы которых равны 0, 1 и 2 соответственно. Схематично эти области изображены на рис. 14.

При  $n \geq 1$  кривая  $C_n$  простая, поэтому она разбивает плоскость на две области:  $D_0^n$  и  $D_1^n$ . Обозначим через  $D_0^n$  ту область, которая содержит начало координат. Выше мы присвоили этой области нулевой относительный индекс. Имеем

$$\Delta(a_n)u_1(a_n)u_2'(a_n) = a_n^5(a_n + \sin a_n \cos a_n) > 0,$$

поэтому  $(\nabla Z_{a_n}, \mathbf{S}(a_n)) > 0$  согласно теореме 1 [4]. Следовательно, относительный индекс области  $D_1^n$  равен двум. Эти наборы изображены на рис. 15, 16.

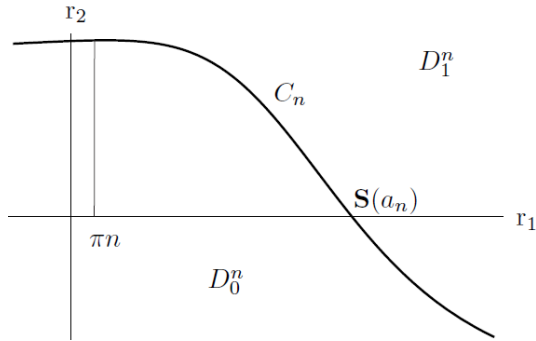


Рис. 15. Набор  $\omega_n$  при нечетных  $n$  в случае  $\mu > 0$

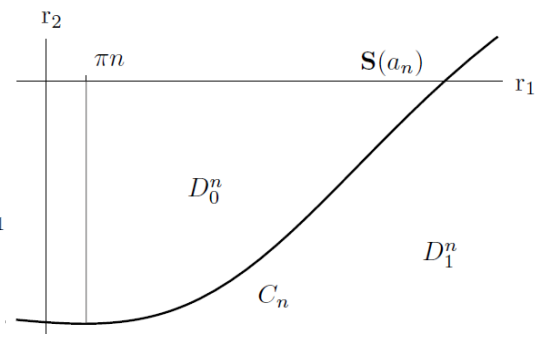


Рис. 16. Набор  $\omega_n$  при четных  $n$  в случае  $\mu > 0$

Итак, область  $\bigcap_{n=0}^{\infty} D_0^n$  и только она имеет нулевой абсолютный индекс.

Покажем, что  $\bigcap_{n=0}^{\infty} D_0^n = D_0^0 \cap D_0^1$ .

Пусть  $\mathbf{r}$  принадлежит  $D_0^0 \cap D_0^1$  и замыканию  $D_1^n$ , при некотором четном целом  $n$ . Тогда  $r_1 > 0$ ,  $F_0(r_1) < r_2 < F_1(r_1)$  и  $r_2 \leq F_n(r_1)$ . Как было показано выше, если  $r_1 \in (0, S_1(a_n))$ , то  $F_0(r_1) > F_n(r_1)$ , следовательно,  $r_1 \geq S_1(a_n)$ , но тогда  $F_1(r_1) < 0 < F_0(r_1)$ . Полученное противоречие показывает, что  $D_0^0 \cap D_0^1$  — подмножество  $D_0^n$ . Аналогично рассматривается случай, когда  $n$  — нечетное число, большее двух.

Заметим, что при условии  $r_1 > 0$  неравенства

$$F_0(r_1) < F_1(r_1), \quad r_1 < W_+(\mu)$$

эквивалентны, а принадлежность точки  $\{\chi, \nu\}$  области  $D_0^0 \cap D_0^1$  эквивалентно тому, что  $\mu > 0$  и  $\{\chi, \nu, \mu\} \in \mathcal{D}_{10}$ .

На рис. 17, 18 граница пересечения областей  $D_0^0, D_0^1$  выделена жирной линией.  $\square$

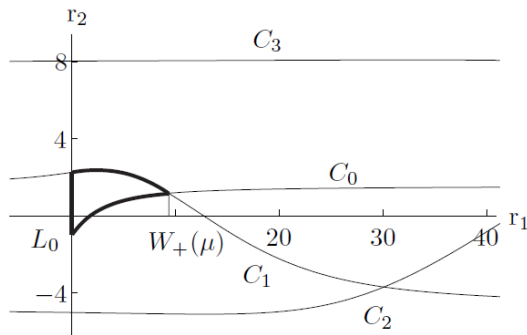


Рис. 17. Области D-разбиения в случае  $\mu = 1$

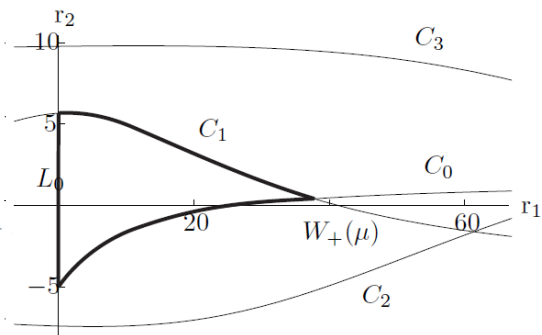


Рис. 18. Области D-разбиения в случае  $\mu = 5$

2. Случай  $\mu \leq -1$ .

*Доказательство теоремы 5 в случае  $\mu \leq -1$ .* На интервале  $(0, \pi/2)$  функция  $S_2$  монотонно убывает, а кривая  $C_0$  не пересекает ось  $r_2$ , поэтому  $\omega_0$  — простой T-набор. Имеются три области набора:  $D_0^0, D_1^0$  и  $D_2^0$ , относительные индексы которых равны 1, 2 и 3 соответственно. Схематично эти области изображены на рис. 19.

Если  $\mu = -1$ , то, как было показано выше, функция  $S_2$  монотонна  $(\pi(n - 1/2), \pi(n + 1/2))$ . Если  $\mu < -1$ , то все проекции кривых D-разбиения просты. Это вытекает из того, что  $S_1(d_n) < 0$ , но  $S_1(\eta) > 0$ , где  $\eta$  — любой корень уравнения  $\mu = g(\varphi)$ .

Кривая  $C_n$  разбивает плоскость на две области:  $D_0^n$  и  $D_1^n$ , относительные индексы которых 0 и 2 соответственно (рис. 20). Итак, суммарный относительный индекс любой точки больше нуля, поэтому область устойчивости пуста.  $\square$

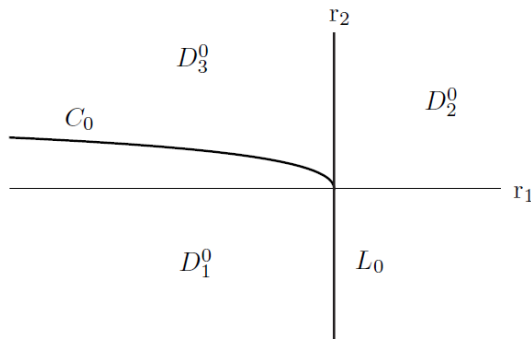


Рис. 19. Набор  $\omega_0$  в случае  $\mu \leq -1$

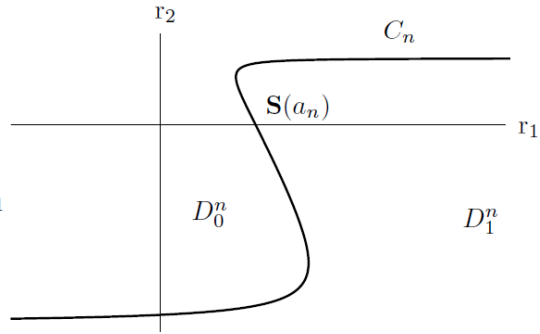


Рис. 20. Набор  $\omega_n$  при нечетных  $n$  в случае  $\mu \leq -1$

3. Случай  $\mu \in (-1, 0)$ .

*Доказательство леммы 6.* Решение системы (63), удовлетворяющее условию  $\pi/2 < \varphi < \psi < \pi$  соответствует точке самопересечения участка кривой  $C_1^{(\pi/2, \pi)}$ .

Докажем, что точка самопересечения существует. Имеем  $S_2(\pi/2) = \pi/2 > 0$  и  $S_2(\pi) = \mu < 0$ . На интервале  $(0, \pi/2)$  функция  $S_1$  имеет единственный экстремум (минимум) в точке  $c_1$ , и у функции  $S_2$  имеется единственный экстремум (максимум) в точке  $d_1$ . Для того, чтобы участок кривой  $C_1^{(\pi/2, \pi)}$  имел точки самопересечения необходимо и достаточно, чтобы выполнялось неравенство  $c_1 < d_1$ .

Согласно лемме 4 значение  $t^*$  — это точка пересечения графиков  $g_1$  и  $g_2$  на интервале  $(\pi/2, \pi)$ . Функция  $g_2$  возрастает на этом интервале и  $g_2(\varphi) > -1$ , поэтому при  $\mu > \mu^*$  имеем  $d_1 > t^*$ , а при  $\mu < \mu^*$  имеем  $d_1 < t^*$ . На интервале  $(\pi/2, t^*)$  функция  $g_1$  убывает, поэтому при  $\mu > \mu^*$  имеем  $c_n < t^*$ . На интервале  $(t^*, \pi)$  функция  $g_1$  не является монотонна, тем не менее, функция убывает на том участке, где она принимает значения больше, чем  $-1$ , поэтому при  $\mu < \mu^*$  имеем  $c_n > t^*$ . Таким образом, если  $\mu \leq \mu^*$ , то  $c_n \geq d_n$ , поэтому точек самопересечения нет. Если же  $\mu > \mu^*$ , то  $c_n < d_n$ , следовательно, участок кривой  $C_1^{(\pi/2, \pi)}$  пересекает себя хотя бы в одной точке.

Покажем, что  $C_1$  пересекает себя в единственной точке.

Для этого достаточно показать, что на участке кривой  $C_1^{(\pi/2, \pi)}$  не меняется направление выпуклости, то есть знак выражения  $S_1'(\varphi)S_2(\varphi) - S_1(\varphi)S_2'(\varphi)$  постоянно на интервале  $(\pi/2, \pi)$ .

Имеем  $S_1'(\varphi)S_2(\varphi) - S_1(\varphi)S_2'(\varphi) = -G(\varphi, \mu) \sec^3 \varphi$ , где

$$(69) \quad \begin{aligned} G(\varphi, \mu) &= 2\varphi \cos^4 \varphi - 2 \cos^3 \varphi \sin \varphi - 2\varphi^2 \cos^3 \varphi \sin \varphi \\ &+ \mu(2\varphi \cos^4 \varphi - 2 \cos \varphi \sin \varphi - 3\varphi^2 \cos \varphi \sin \varphi \\ &- 2\varphi \sin^2 \varphi - \varphi \cos^2 \varphi \sin^2 \varphi) \\ &+ \mu^2(\varphi \cos^2 \varphi - 2 \cos \varphi \sin \varphi + \cos^3 \varphi \sin \varphi - 2\varphi \sin^2 \varphi). \end{aligned}$$

График функции  $y = G(\varphi, \mu^*)$  изображен на рис. 21.

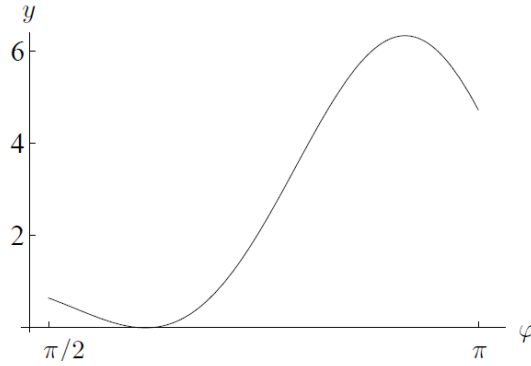


Рис. 21. График  $y = G(\varphi, \mu^*)$

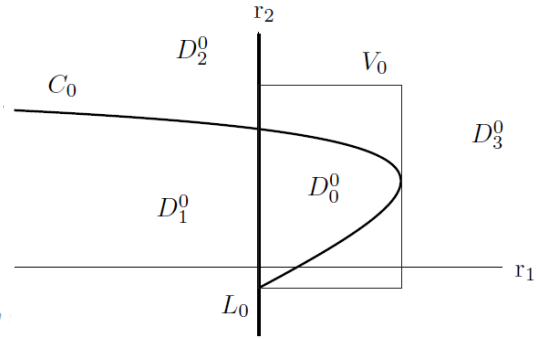


Рис. 22. Набор  $\omega_0$  при  $\mu \in (-1, 0)$

Покажем, что  $G(\varphi, \mu^*) \geq 0$  для любого  $\varphi \in (\pi/2, \pi)$ . Для этого подставим  $\mu = -1 - t^* \operatorname{ctg} t^*$  в выражение для  $S_2$ , а

$$\mu = -\frac{2t^* \cos^2 t^*}{t^* + \sin t^* \cos t^*}$$

подставим в выражения для  $S_1$ , тогда получаем

$$G(\varphi, \mu^*) = 2T(\varphi, t^*) \sin t^* / (t^* + \sin t^* \cos t^*),$$

где

$$\begin{aligned} T(\varphi, t) &= t^2 \varphi \cos^3 t \cos^2 \varphi - t^2 \varphi \cos t \cos^4 \varphi + t \varphi \cos^2 t \cos^2 \varphi \sin t \\ &- t \varphi \cos t^2 \cos^4 \varphi \sin t - 2t^2 \cos^3 t \cos \varphi \sin \varphi + t^2 \cos t \cos^3 \varphi \sin \varphi \\ &+ t^2 \cos^3 t \cos^3 \varphi \sin \varphi + 3t \varphi^2 \cos^2 t \cos \varphi \sin t \sin \varphi \\ &- t \varphi^2 \cos^3 \varphi \sin t \sin \varphi - \varphi^2 \cos t \cos^3 \varphi \sin^2 t \sin \varphi \\ &- 2t^2 \varphi \cos^3 t \sin^2 \varphi + t \varphi \cos^2 t \cos^2 \varphi \sin t \sin^2 \varphi. \end{aligned}$$

Имеем  $T(t, t) = 0$ .

Докажем, что если  $\varphi \in (\pi, 3\pi/2)$ ,  $t \in (\pi, 3\pi/4)$  и  $\varphi \neq t$ , то  $T(\varphi, t) > 0$ . Представим  $T$  в виде

$$T(\varphi, t) = Y_0(\varphi, t) - 2\varphi t \sin \varphi \cos t (\sin t - \sin \varphi) (Y_1(\varphi, t) - Y_2(\varphi, t)),$$

где

$$\begin{aligned} Y_0(\varphi, t) &= \sin \varphi (\varphi \cos \varphi \sin t - t \cos t \sin \varphi) \\ &\times (t \cos^2 t (\varphi + \sin \varphi \cos \varphi) - \varphi \cos^2 \varphi (t + \sin t \cos t)), \end{aligned}$$

$$Y_1(\varphi, t) = \frac{t(\sin t + \sin \varphi)(\varphi - \sin \varphi \cos \varphi)}{2\varphi \sin \varphi},$$

$$Y_2(\varphi, t) = \frac{\varphi \cos \varphi \sin t - t \cos t \sin \varphi}{\sin t - \sin \varphi}.$$

$$\begin{aligned} \text{Имеем } Y_0(\varphi, t) &= \sin t \sin^2 \varphi (\varphi + \sin \varphi \cos \varphi) (t + \sin t \cos t) \\ &\times (\varphi \operatorname{ctg} \varphi - t \operatorname{ctg} t) (t \cos^2 t / (t + \sin t \cos t) - \varphi \cos^2 \varphi / (\varphi + \sin \varphi \cos \varphi)). \end{aligned}$$

В силу монотонности функций  $\varphi \operatorname{ctg} \varphi$  и  $\varphi \cos^2 \varphi / (\varphi + \sin \varphi \cos \varphi)$  имеем  $Y_0(\varphi, t) > 0$  если  $t \neq \varphi$ .

Теперь рассмотрим функции  $Y_1$  и  $Y_2$ . При  $\varphi = t$  доопределим функцию  $Y_2$  по непрерывности значением  $Y_2(\varphi, \varphi) = \varphi - \sin \varphi \cos \varphi$ . Имеем  $Y_1(t, t) = Y_2(t, t)$ , поэтому достаточно показать, что при каждом фиксированном  $t \in (\pi/2, 3\pi/4)$  функция  $Y_1(\varphi, t)$  монотонно возрастает на  $\varphi \in (\pi/2, \pi)$ , а функция  $Y_2(\varphi, t)$  не возрастает.

Рассмотрим функцию  $Y_1$ . Неравенство  $\frac{\partial Y_1(\varphi, t)}{\partial \varphi} > 0$  эквивалентно следующему:

$$(70) \quad \sin t (\varphi \sin^3 \varphi + \cos \varphi \sin^2 \varphi - \varphi^2 \cos \varphi) > \varphi \sin^2 \varphi \cos 2\varphi - \cos \varphi \sin^3 \varphi.$$

Неравенство (70) вытекает из того, что  $\sin t \in (\sqrt{2}/2, 1)$  по предположению и из двух элементарно проверяемых неравенств:

$$\begin{aligned} \varphi \sin^2 \varphi \cos 2\varphi - \cos \varphi \sin^3 \varphi &< 1/2, \\ \varphi \sin^3 \varphi + \cos \varphi \sin^2 \varphi - \varphi^2 \cos \varphi &> \pi/2, \end{aligned}$$

имеющих место при  $\varphi \in (\pi/2, \pi)$ .

Рассмотрим  $Y_2$ . Неравенство  $\frac{\partial Y_2(\varphi, t)}{\partial \varphi} \leq 0$  эквивалентно  $Y_3(\varphi, t) \geq 0$ , где  $Y_3(\varphi, t) = \varphi - t \cos t \cos \varphi + \cos \varphi \sin t - \cos \varphi \sin \varphi - \varphi \sin t \sin \varphi$ .

Имеем  $Y_3(t, t) = 0$  и  $\frac{\partial Y_3(t, t)}{\partial \varphi} = 0$ , поэтому для того, чтобы доказать, что  $\varphi = t$  — единственный корень уравнения  $Y_3(\cdot, t) = 0$ , достаточно показать, что  $\frac{\partial^2 Y_3(t, t)}{\partial \varphi^2} > 0$  для любых  $\varphi \in (\pi/2, \pi)$  и  $t \in (\pi/2, 2\pi/3)$ . Имеем

$$\frac{\partial^2 Y_3(t, t)}{\partial \varphi^2} = t \cos t \cos \varphi - 3 \cos \varphi \sin t + 2 \sin 2\varphi + \varphi \sin t \sin \varphi.$$

Усилим неравенство  $\frac{\partial^2 Y_3(t, t)}{\partial \varphi^2} > 0$ :  $\sin t (\varphi \sin \varphi - 3 \cos \varphi) > -2 \sin 2\varphi$ . Последнее неравенство вытекает из элементарно проверяемых неравенств

$$-\frac{2 \sin 2\varphi}{\varphi \sin \varphi - 3 \cos \varphi} = \frac{4 \sin \varphi}{3 - \varphi \operatorname{tg} \varphi} < \frac{\sqrt{2}}{2} < \sin t.$$

В силу того, что  $t^* \in (\pi/2, 3\pi/4)$  при  $\varphi \in (\pi/2, \pi)$  имеем  $G(\varphi, \mu^*) > 0$  и, очевидно,  $G(\varphi, 0) > 0$ . Докажем, что если  $\varphi \in (\pi/2, \pi)$  и  $\mu \in [\mu^*, 0]$ , то  $G(\varphi, \mu) > 0$ . При фиксированном  $\varphi$  выражение (69) представляет собой квадратный трехчлен относительно  $\mu$ . Если коэффициент при  $\mu^2$  отрицателен, то ветви параболы направлены вниз, поэтому квадратный трехчлен достигает наименьшего значения на концах отрезка  $[\mu^*, 0]$ . Если коэффициент при  $\mu^2$  равен нулю, то тем более  $G(\varphi, \mu) \geq \min\{G(\varphi, \mu^*), G(\varphi, 0)\}$ .

Пусть коэффициент при  $\mu^2$  положителен, тогда

$$2(\cos^2 \varphi - 2 \sin^2 \varphi) > \sin 2\varphi - \sin \varphi \cos^3 \varphi,$$

следовательно,  $\cos^2 \varphi > 2 \sin^2 \varphi$ , откуда получаем  $\varphi \in (3\pi/4, \pi)$ . Покажем, что в этом случае вершина параболы принадлежит множеству  $(-\infty, -1)$ . Перепишем неравенство  $\sin \varphi \frac{\partial G(\varphi, -1)}{\partial \mu} > 0$  в виде

$$(71) \quad -3\varphi^2 \cos \varphi - 2 \cos^3 \varphi + 2\varphi \sin \varphi > 2\varphi \cos^2 \varphi \sin \varphi - 2 \cos \varphi + \varphi \cos^2 \varphi \sin \varphi.$$

В силу  $\varphi \in (3\pi/4, \pi)$  левая часть неравенства (71) не меньше, чем  $27\pi^2/16 + 1$ , а правая часть этого неравенства не больше, чем  $3\pi/2 + 2$ . Таким образом, неравенство (71) выполняется, поэтому вершина параболы не принадлежит интервалу  $(\mu^*, 0)$ , следовательно,  $G(\varphi, \mu) > 0$  на этом интервале.

Итак, на участке кривой  $C_1^{(\pi/2, \pi)}$  не меняется направление выпуклости, поэтому точка пересечения единственна.  $\square$

*Доказательство теоремы 5 в случае  $\mu \in (-1, 0)$ .* Покажем, что при  $\mu \in (-1, 0)$  кривая  $C_0$  не имеет общих точек ни с одной из кривых  $C_n$  при  $n \in \mathbb{N}$ .

Функция  $S_2$  монотонно возрастает, а функция  $S_1$  достигает своего наибольшего значения  $S_1(c_0)$  на интервале  $(0, \pi/2)$ . Следовательно,  $C_0$  расположена в прямоугольнике  $V_0 = \{\mathbf{r} \in \mathbb{R}^2 : 0 < r_1 < S_1(c_0), r_2 \in (-\mu, \pi/2)\}$ . На рис. 22 границы этого прямоугольника выделены серым цветом.

Имеем  $\lim_{\varphi \rightarrow \pi(n-1/2)-0} S_1(\varphi) = +\infty$ . У функции  $S_1$  имеется точка минимума  $c_{2n-1}$  на интервале  $(\pi(n-1/2), \pi n)$  и точка максимума  $c_{2n}$  на интервале  $(\pi n, \pi(n+1/2))$ . Выше было доказано, что  $S_1(c_{2n}) > S_1(c_{2n-1}) > S_1(c_0)$ , поэтому участок  $C_n^{(\pi(n-1/2), c_{2n})}$  расположен правее полосы  $V_0$ .

Если  $n$  — нечетное число, то оставшийся участок кривой  $C_n^{(c_{2n}, \pi(n+1/2))}$  расположен ниже оси  $r_1$ , следовательно, ниже  $V_0$ .

Докажем, что если  $n$  — четное число, то  $C_n^{(c_{2n}, \pi(n+1/2))}$  находится выше прямоугольника  $V_0$ . Согласно лемме 3 имеем  $c_{2n} > \pi n + \pi/6$ , поэтому для любого  $\varphi \in (c_{2n}, \pi(n+1/2))$  имеем  $S_1(\varphi) > \varphi \sin \varphi > \varphi/2 > \pi n > \pi$ .

Выше мы показали, что при  $\mu \in (\mu^*, 0)$  кривая  $C_1$  имеет единственную петлю. Докажем, что ни одна проекция кривой D-разбиения не пересекает внутренность этой петли.

Только что было доказано, что кривые  $C_0$  и  $C_1$  не пересекаются. Петля кривой  $C_1$  расположена в прямоугольнике

$$V_1 = \left\{ \mathbf{r} \in \mathbb{R}^2 : r_1 \in (S_1(c_1), S_1(c_2)), r_2 \in (0, \mu^2 + \pi^2) \right\}.$$

Если  $n \geq 2$ , то участок кривой  $C_n^{(\pi(n-1/2), c_{2n})}$  расположен в полуплоскости  $r_1 > S_1(c_{2n-1})$ . Имеем  $S_1(c_{2n-1}) > S_1(c_2)$ , поэтому этот участок расположен правее прямоугольника  $V_1$ .

Если  $n$  — нечетное число, большее двух, то участок кривой  $C_n^{(c_{2n}, \pi(n+1/2))}$  расположен ниже оси  $r_1$ , поэтому не пересекает  $V_1$ .

Пусть  $n$  — четное число, большее двух, тогда согласно лемме 3 имеем  $c_{2n} > \pi n + \pi/6$ , поэтому при  $\varphi > c_{2n}$  имеем

$$S_2(\varphi) > S_2(c_{2n}) > \frac{\pi}{2} \left( n + \frac{1}{6} \right) > \sqrt{\pi^2 + 1},$$

следовательно, участок кривой  $C_n^{(c_{2n}, \pi(n+1/2))}$  расположен выше  $V_1$ .

Далее,  $W_0(\mu) = S_1(c_0)$  и  $W_1(\mu) = S_1(c_1)$ , а  $W_-$  — проекция на  $r_1$  точки самопересечения кривой  $C_1$ .

*Лемма 7 вытекает из неравенств  $S_1(c_0) < S_1(c_1)$  и  $S_1(c_1) < W_-(\mu)$ .*

Набор  $\omega_0$  — это T-набор, причем  $C_0$  и  $L_0$  имеет единственную точку пересечения, поэтому существует всего четыре области набора:  $D_0^0, D_1^0, D_2^0$  и  $D_3^0$ , которые обозначены на рис. 22. Относительные индексы этих областей таковы:  $\rho_{\omega_0}(D_0^0) = 0$ ,  $\rho_{\omega_0}(D_1^0) = 1$ ,  $\rho_{\omega_0}(D_2^0) = 2$ ,  $\rho_{\omega_0}(D_3^0) = 3$ .

Рассмотрим набор  $\omega_1$ . При  $\mu \in (\mu^*, 0)$  имеются три области набора:  $D_0^1, D_1^1$  и  $D_2^1$ , которые обозначены на рис. 23. Заметим, что область  $D_0^1$  содержит начало координат,

поэтому  $\rho_{\omega_0}(D_0^1) = 0$ . Область  $D_2^1$  — это петля, относительный индекс которой равен  $-2$ . Относительный индекс неограниченной области  $D_1^1$  равен  $2$ .

Если  $\mu \in (-1, \mu^*]$ , то кривая  $C_1$  простая. Имеются две неограниченные области  $D_0^1$  и  $D_1^1$ , относительные индексы которых равны  $0$  и  $2$  соответственно (рис. 24).

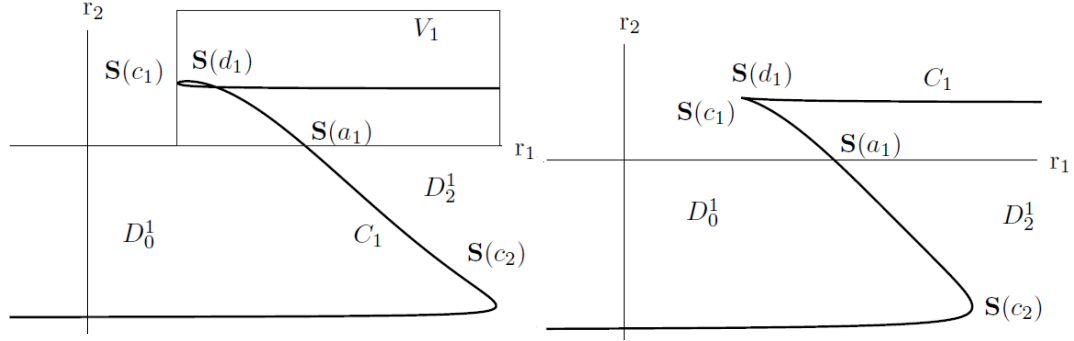


Рис. 23. Набор  $\omega_1$  в случае  $\mu \in (\mu^*, 0)$

Рис. 24. Набор  $\omega_1$  при  $\mu \in (-1, \mu^*]$

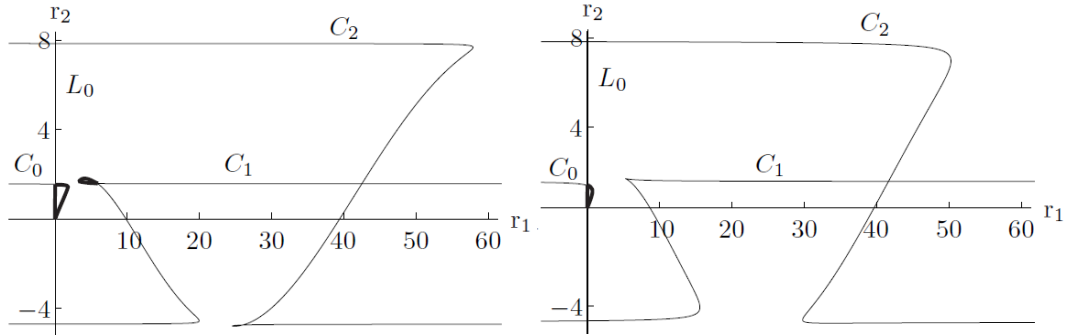


Рис. 25. Области D-разбиения в случае  $\mu = -0.03$

Рис. 26. Области D-разбиения в случае  $\mu = -0.3$

Рассмотрим набор  $\omega_n$  при  $n \geq 2$ .

Согласно лемме 1 имеются две неограниченные области  $D_0^n, D_1^n$  (первая из них содержит начало координат), и не более чем счетное множество областей, являющихся внутренностью петель, образованных кривой  $C_n$ . Однако, все эти области расположены в полосе  $r_1 \in (S_1(c_{2n-1}), S_1(c_{2n}))$  и имеют относительные индексы либо  $-2$ , либо  $2$ .

Выберем петлю набора  $\omega_n$  при  $n \geq 2$ , имеющую относительный индекс, равный  $-2$ . Эта петля является подмножеством пересечения областей  $D_1^0$  и  $D_1^1$ , следовательно, абсолютный индекс точек этой петли не меньше, чем  $1$ .

Область  $D_0^0$  является подмножеством областей  $D_0^n$  при любом  $n \geq 1$ , поэтому абсолютный индекс точек этой области равен нулю. Внутренняя точка любой другой области набора  $\omega_n$  имеет положительный индекс относительно этого набора, поэтому для того, чтобы она имела нулевой абсолютный индекс, необходимо, чтобы она имела отрицательный индекс относительно другого набора. Единственная возможность для этого — точки области  $D_2^1$  при  $\mu \in (\mu^*, 0)$ . Эта область является подмножеством  $D_0^0$  и

областей  $D_0^n$  при любом  $n \geq 2$ , следовательно, абсолютный индекс этой области равен нулю.

Таким образом, если  $\mu \in (\mu^*, 0)$ , то область устойчивости имеет две компоненты связности, а принадлежность точки  $\{\chi, \nu\}$  множеству  $D_0^0 \cup D_2^1$ , выделенному на рис. 25, эквивалентна тому, что  $\{\chi, \nu, \mu\} \in \mathcal{D}_{10}$ . Если  $\mu \in (-1, \mu^*]$ , то область устойчивости связна, а принадлежность  $\{\chi, \nu\}$  области  $D_0^0$ , выделенной на рис. 26, эквивалентно тому, что  $\{\chi, \nu, \mu\} \in \mathcal{D}_{10}$ .  $\square$

### ЗАКЛЮЧЕНИЕ

В настоящей статье проведена полная классификация всех трехпараметрических систем (1). Для каждой из десяти систем построена область устойчивости и дано ее аналитическое описание.

Для пяти уравнений (33), (34), (36), (39), (40) области устойчивости построены впервые. Несмотря на то, что для остальные пять областей устойчивости были известны (для уравнения (31) в работе [6], (32)–[9], (35)–[7], (37)–[8], (38)– в работе состоящей из двух частей [1], [2]), в настоящей статье все десять случаев исследованы единообразно.

Область устойчивости представляет собой

- пустое множество ровно для одной системы (уравнение (31));
- несвязное множество для двух систем (уравнения (35), (36));
- ограниченное непустое множество для двух систем (уравнения (35), (34));
- непустое неограниченное связное множество для пяти систем (уравнения (32), (37), (38), (39), (40)).

Отметим, что в шести случаях (уравнения (31)–(36)) удалось выбрать параметр семейства так, что получаемое двухпараметрическое характеристическое уравнение имеет третий тип, а в одном случае (уравнение (38)) – второй тип. Таким образом, в этих семи случаях трехмерные области устойчивости имеют линейчатую структуру, в трех оставшихся случаях – нет.

Построенные области могут быть как использованы непосредственно для исследования локальной устойчивости математических моделей, так и представляет собой базу для дальнейшего исследования системы (1).

### REFERENCES

- [1] C.S. Hsu, S.J. Bhatt *Stability charts for second-order dynamical systems with time lag*, J. Appl. Mech., **33**:1 (1966), 113–118. Zbl 0143.10503
- [2] C.S. Hsu, S.J. Bhatt *Stability charts for second-order dynamical systems with time lag*, J. Appl. Mech., **33**:1 (1966), 119–124. Zbl 0143.10601
- [3] Л.Е. Ил'сгол'тс, С.В. Норкин, *Introduction to the theory of differential equations with deviating argument*, Nauka, Moscow, 1971. (in Russian) Zbl 0224.34053
- [4] М.В. Мulyukov, *Stability of three-parameter systems of two linear differential equations with delay. Part I*, Siberian Electronic Mathematical Reports, (in Russian, in print).
- [5] М.В. Мulyukov, *Stability of two-parameter systems of linear autonomous differential equations with bounded delay*, Izv. Inst. Mat. Inform. Udmurt. Gos. Univ., **51** (2018), 79–122. Zbl 07124540
- [6] М.В. Мulyukov, *The stability of the linear autonomous differential equation with distributed and concentrated delay*, Vestnik Tambovskogo universiteta. Seriya: estestvennye i tekhnicheskie nauki, **20**:5 (2015), 1325–1331. (in Russian)
- [7] М.В. Мulyukov, *Stability of inverted pendulum with delayed feedback* (Russian), Applied Mathematics and Control Sciences, **2017**:4 (2017), 73–87. (Russian)
- [8] М.В. Мulyukov, *Asymptotic stability of the system of autonomous differential equations of delayed type with degenerate matrices*, Proceedings of VII international conference «Modern methods of applied mathematics, control theory and computer technology», Voronej (2014), 268–270. (Russian)



- [9] M.V. Mulyukov, *On stability of three-parameter system of two autonomous linear delay differential equations*, Proceedings of 2015 international conference «stability and control processes» in memory of V.I. Zubov (scp), joined with 21st international workshop on beam dynamics and optimization (bdo). Saint-Petersburg, 05-09 october 2015.

MIKHAIL VADIMOVICH MULYUKOV  
PERM NATIONAL RESEARCH POLYTECHNIC UNIVERSITY,  
29, KOMSOMOLSKIY AVE.,  
PERM, 614990, RUSSIA  
PERM STATE NATIONAL RESEARCH UNIVERSITY,  
15, BUKIREVA STR.,  
PERM, 614990, RUSSIA  
*E-mail address:* Mulykoff@gmail.com